

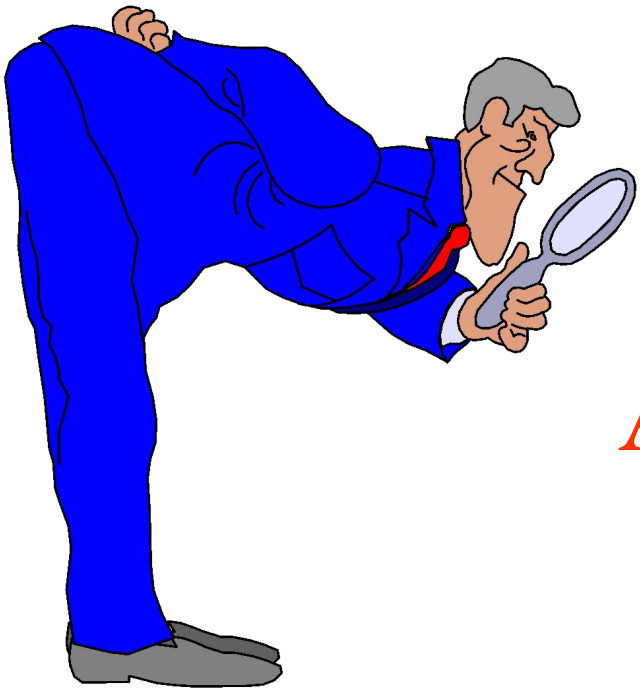
Кафедра нормальной физиологии КрасГМА

Проф. Ю.И. Савченков

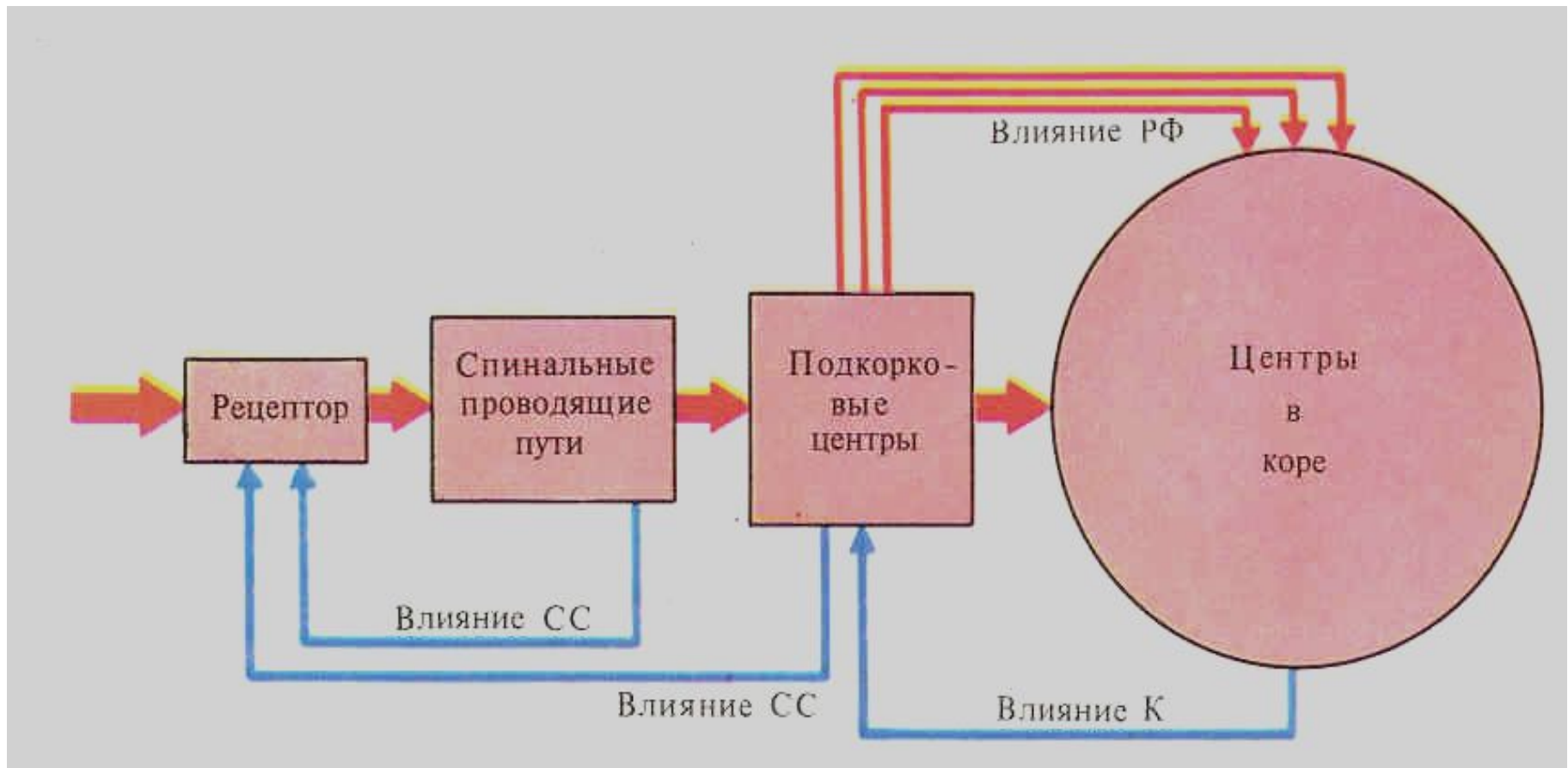
Лекция 33

ФИЗИОЛОГИЯ АНАЛИЗАТОРОВ

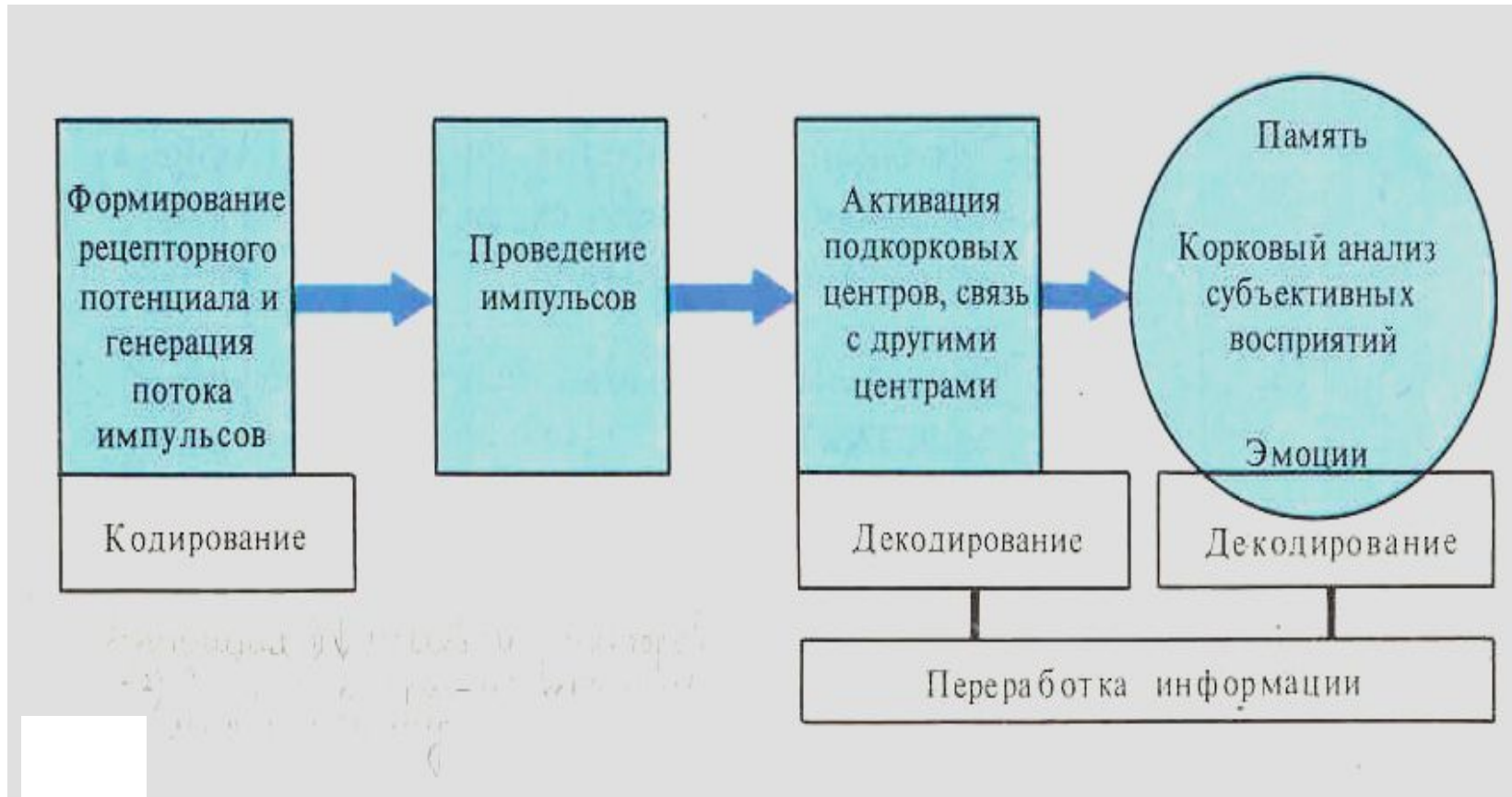
Часть 1



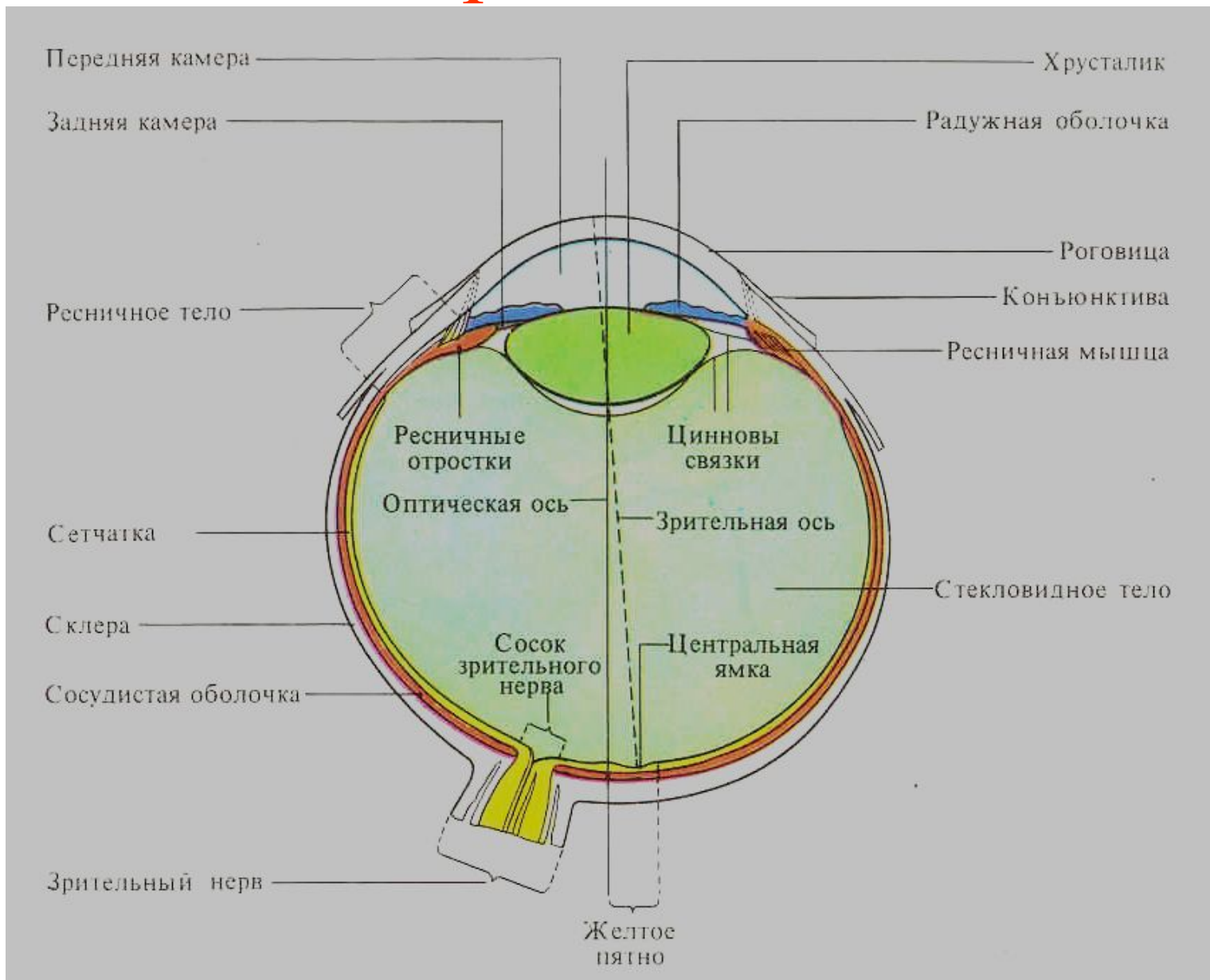
Структура анализаторной системы



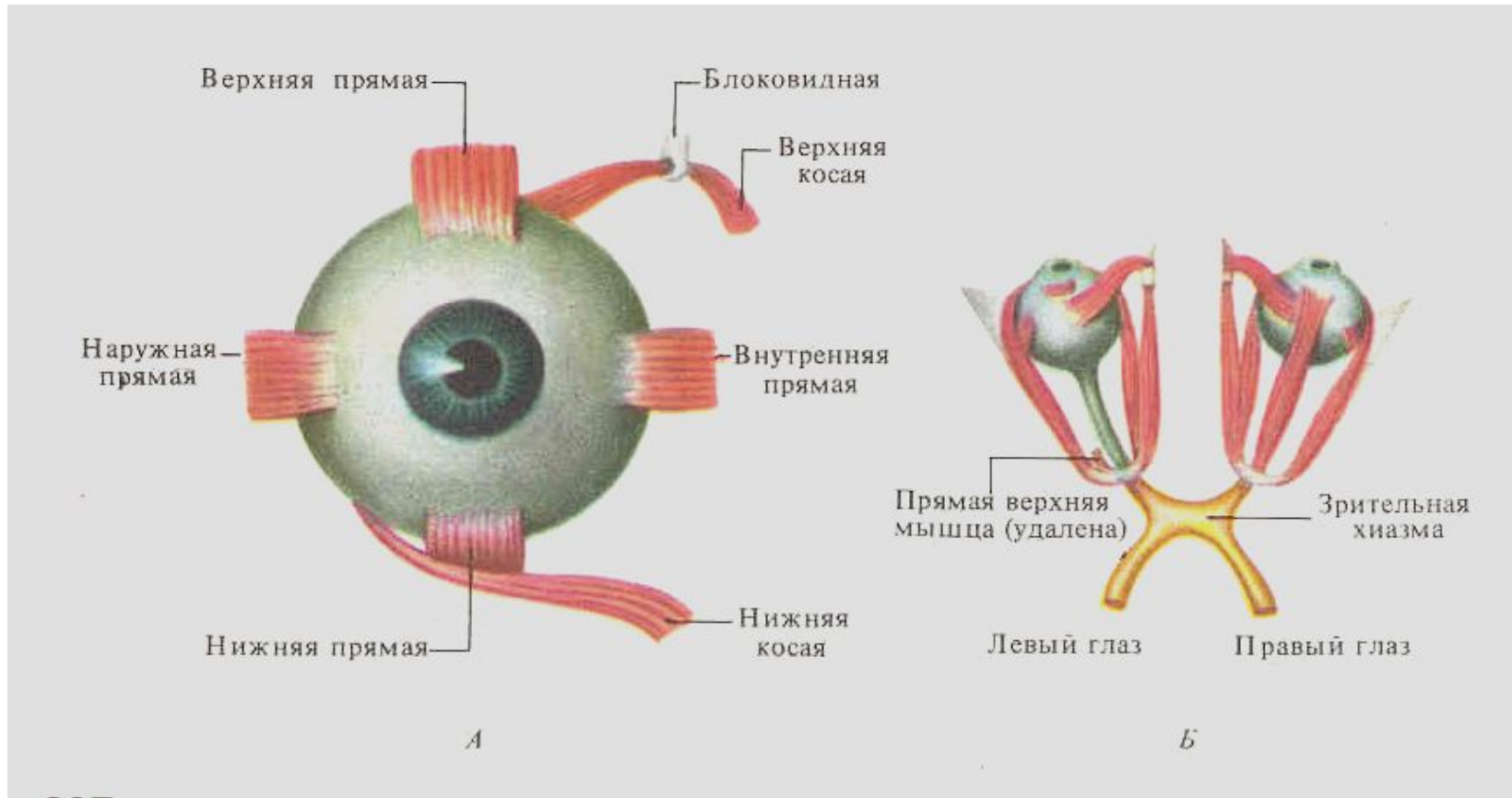
Этапы деятельности анализатора



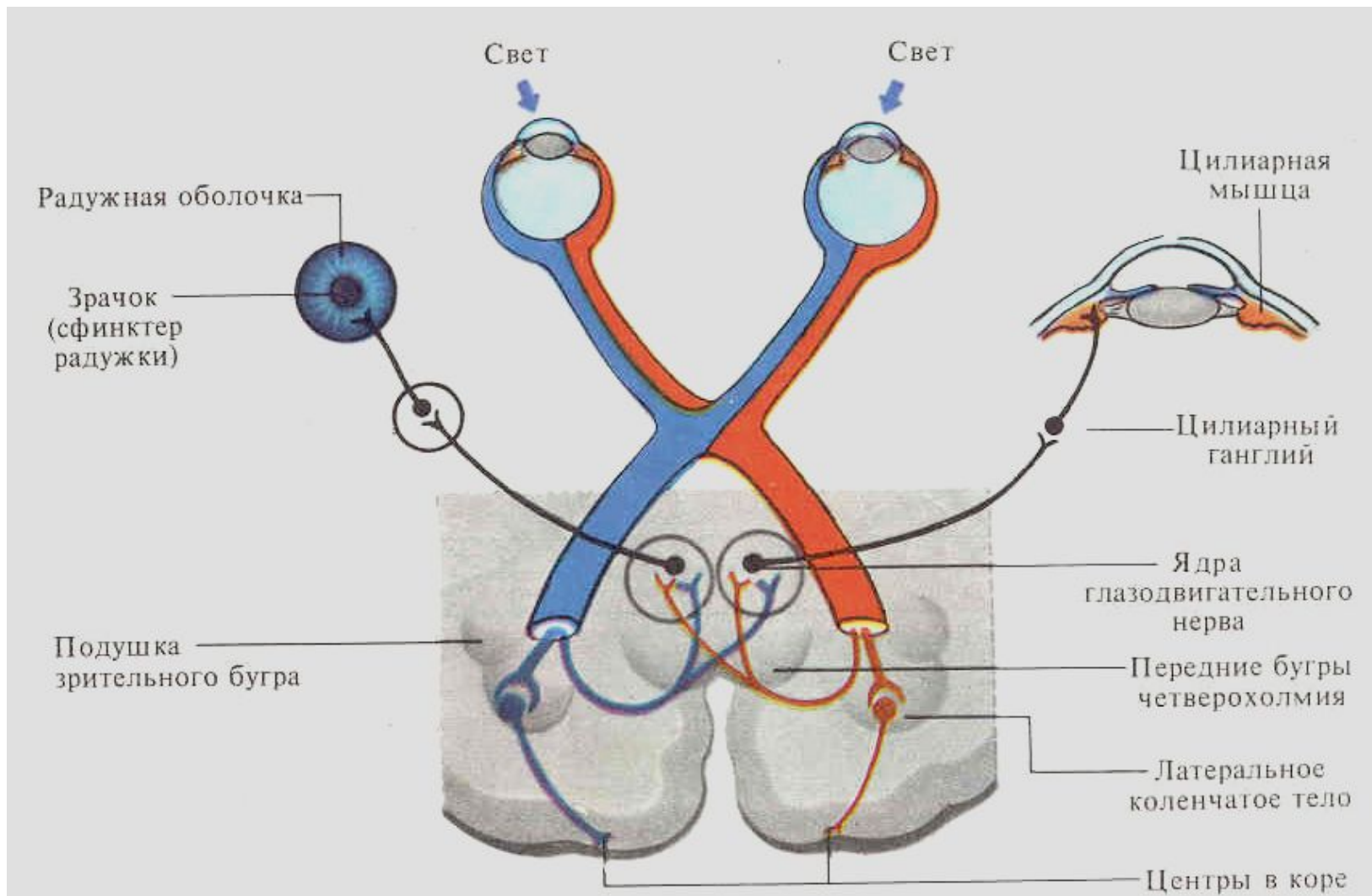
Строение глаза



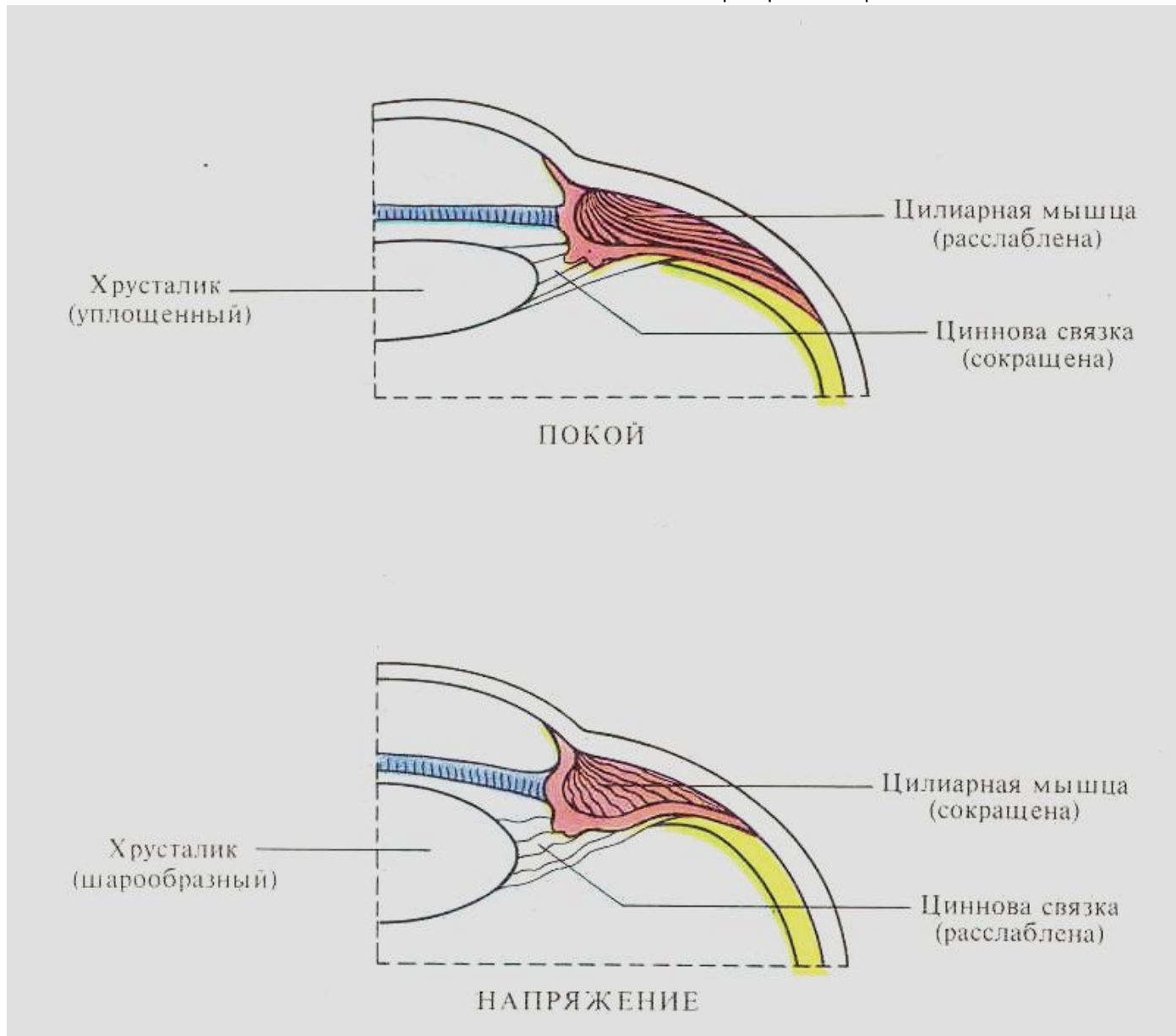
Мышцы глаза. А – вид спереди, Б – вид сверху



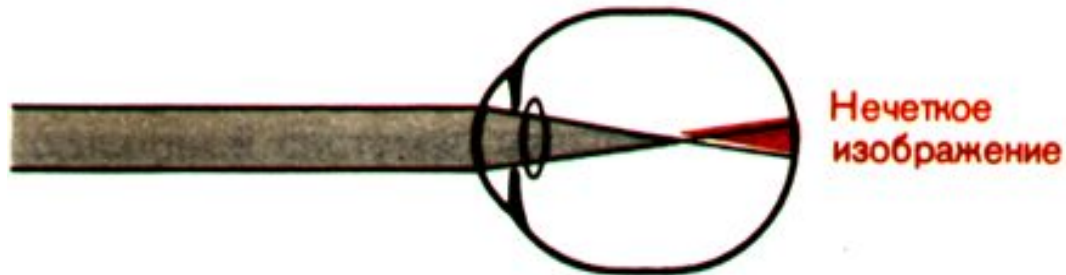
Зрительные пути



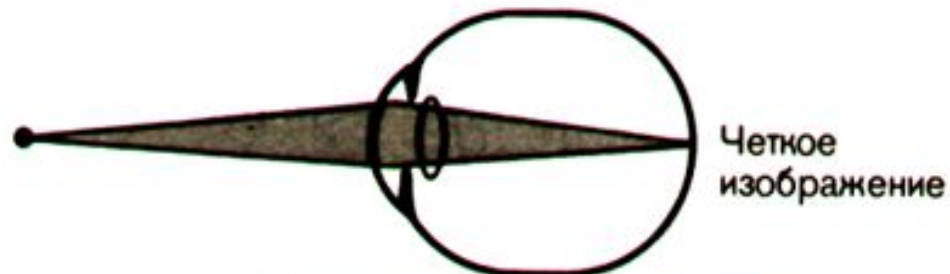
Механизм аккомодации глаза



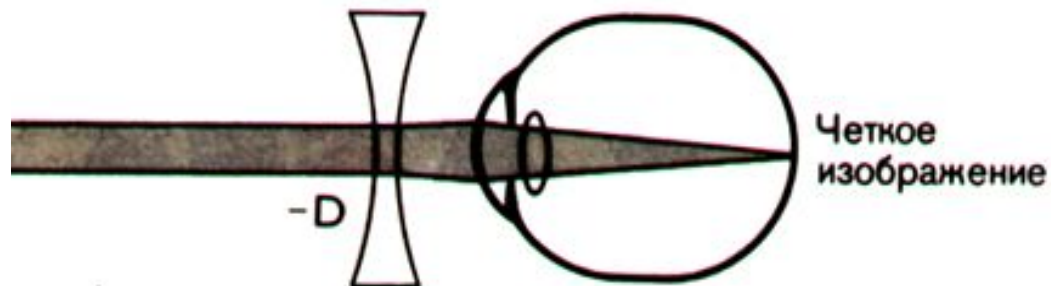
Миопия



Аккомодация на дальнюю точку



Аккомодация на ближнюю точку



Аккомодация на дальнюю точку
с помощью корректирующей линзы

Гиперметропия



Нечеткое изображение

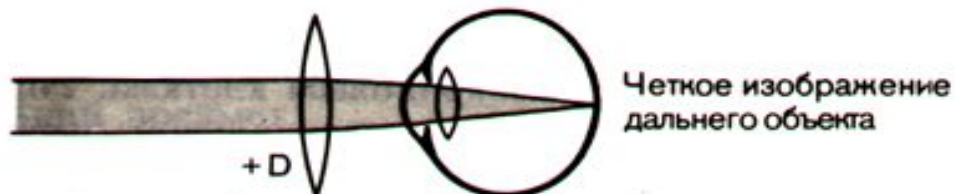
Аккомодация на дальнюю точку



Нечеткое изображение
близкого объекта

Четкое изображение
дальнего объекта

Аккомодация на ближнюю точку



Четкое изображение
дальнего объекта

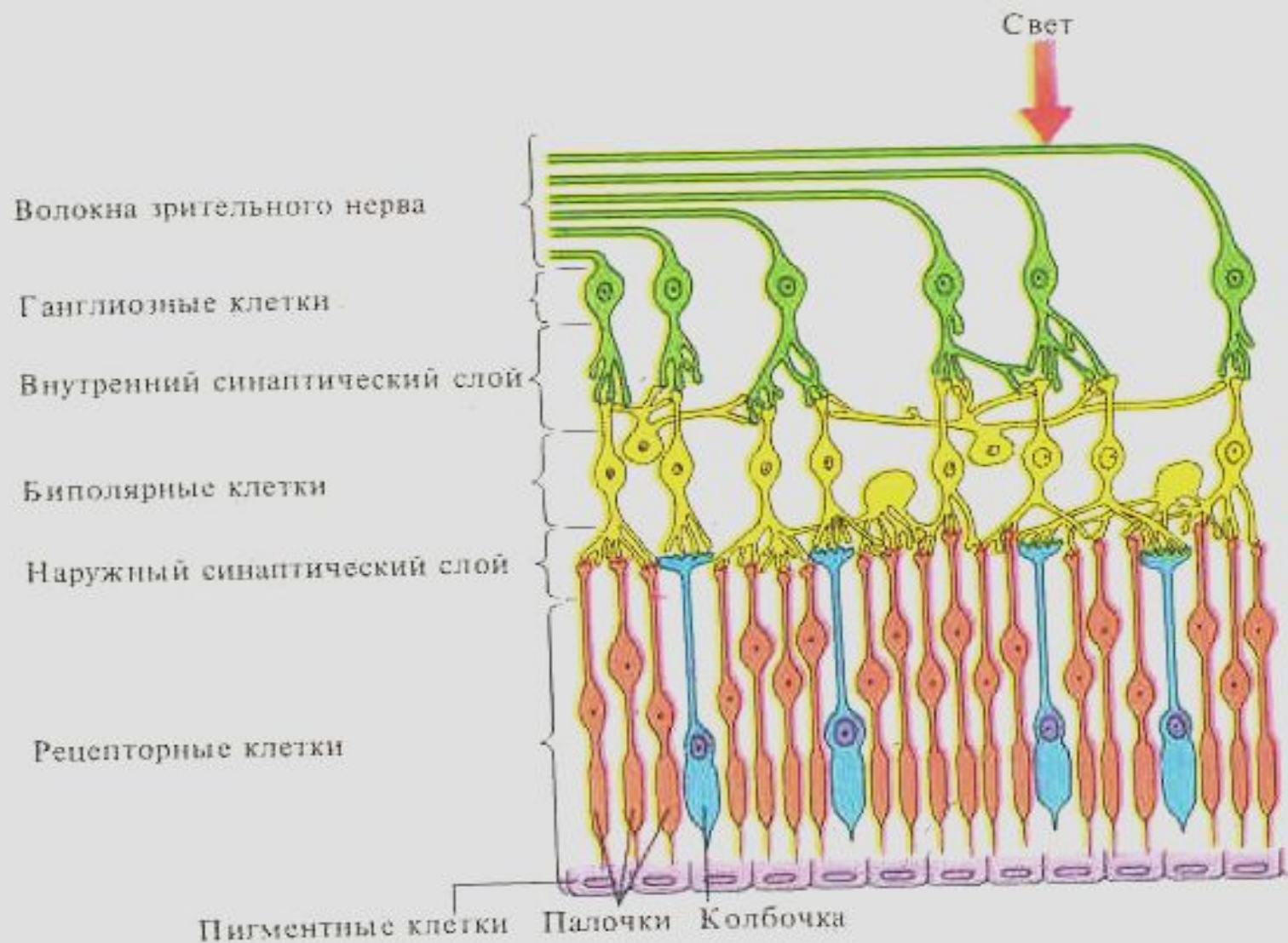
Аккомодация на дальнюю точку
с помощью корректирующей линзы



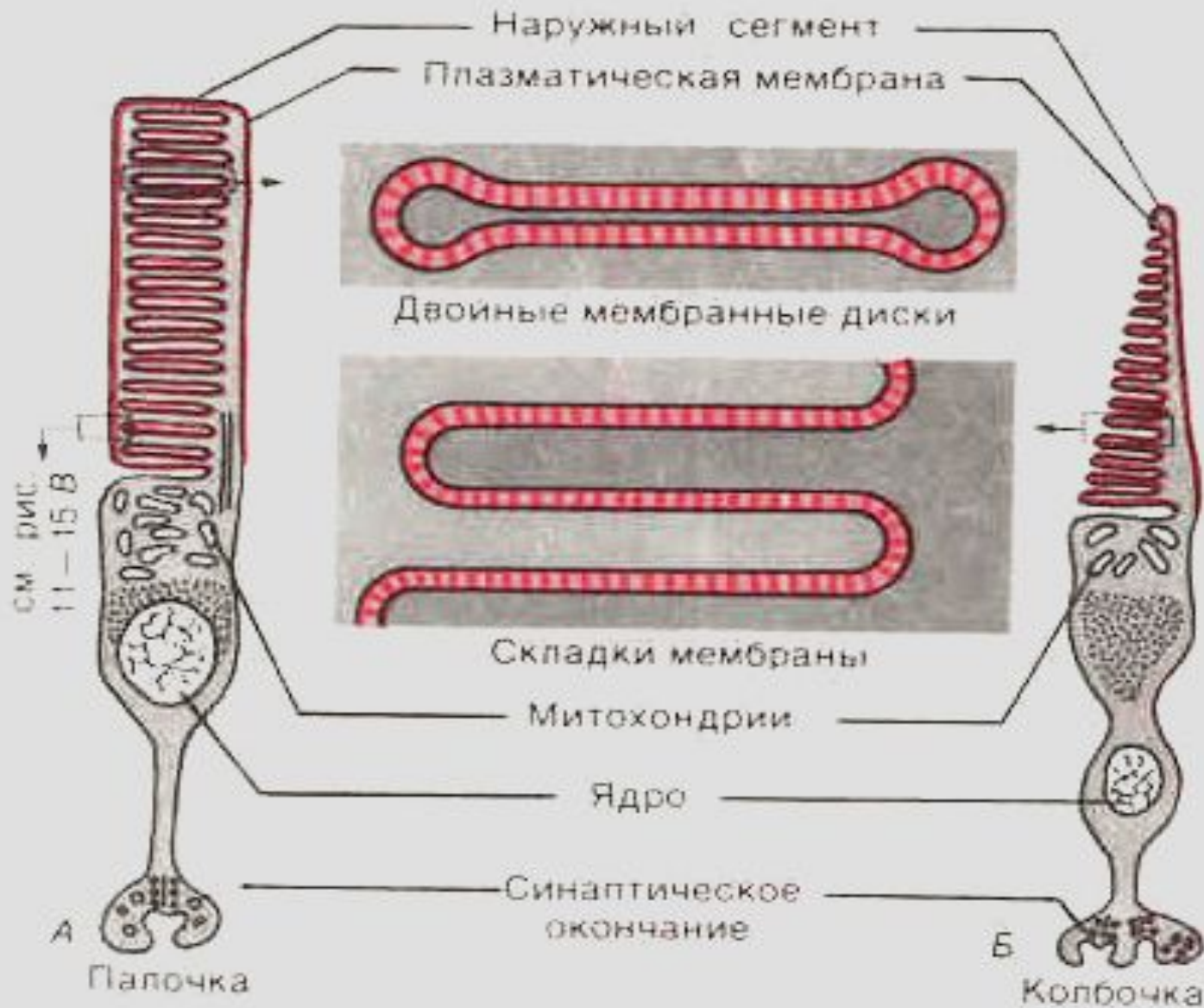
Четкое изображение
близкого объекта

Аккомодация на ближнюю точку
с помощью корректирующей линзы

Схема строения сетчатки



2 вида фоторецепторов



Распределение палочек и колбочек в сетчатке

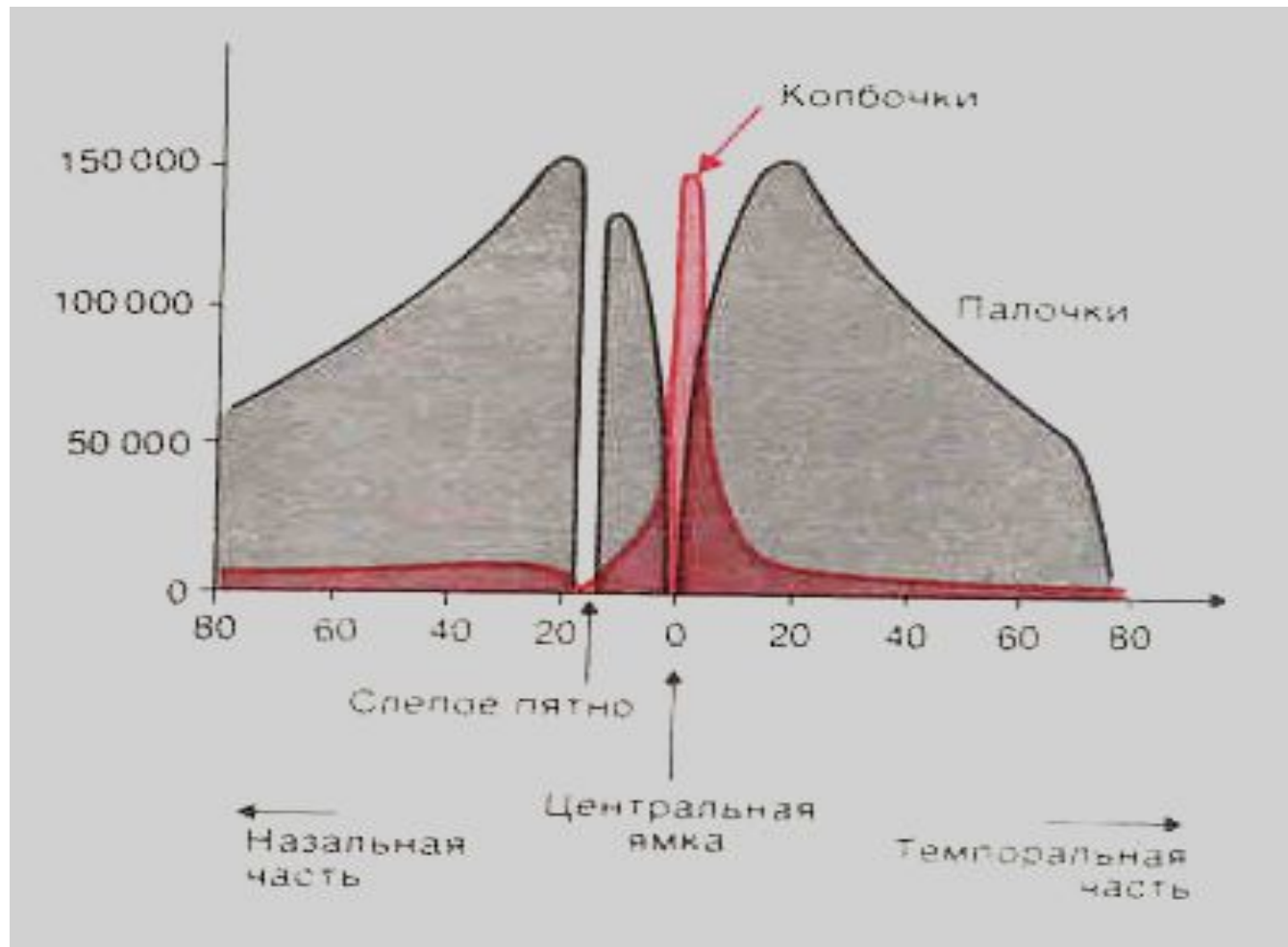
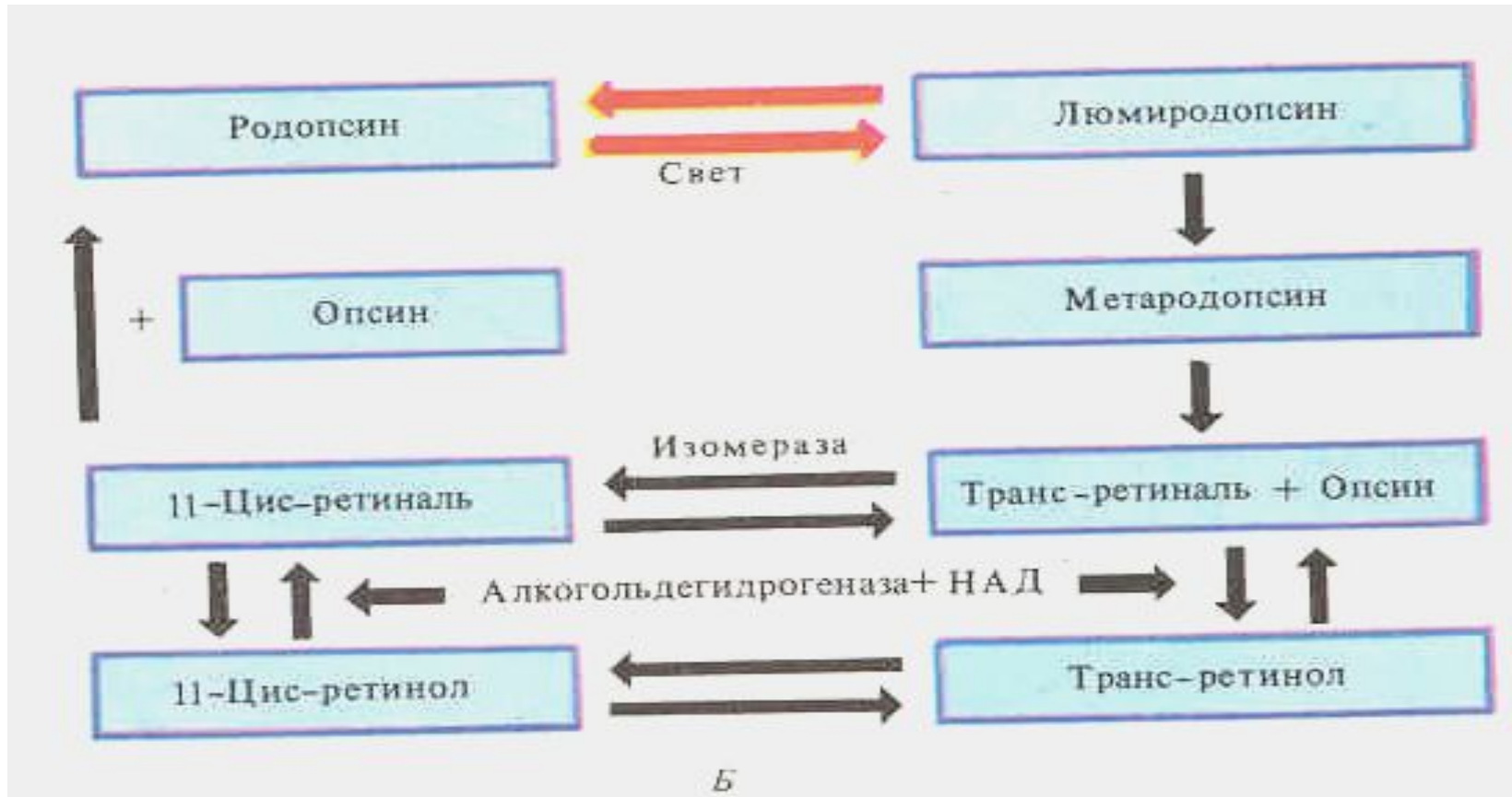
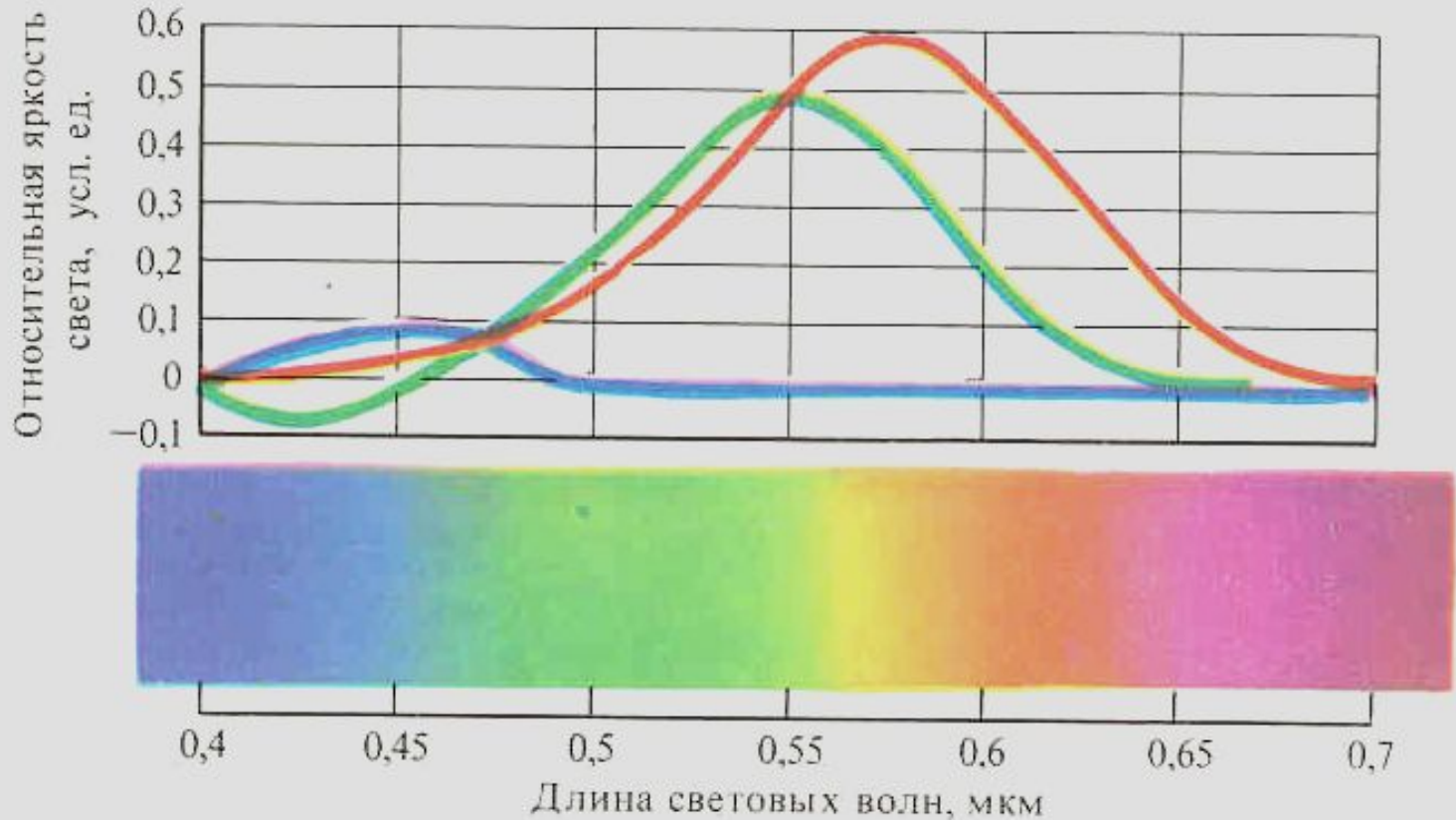


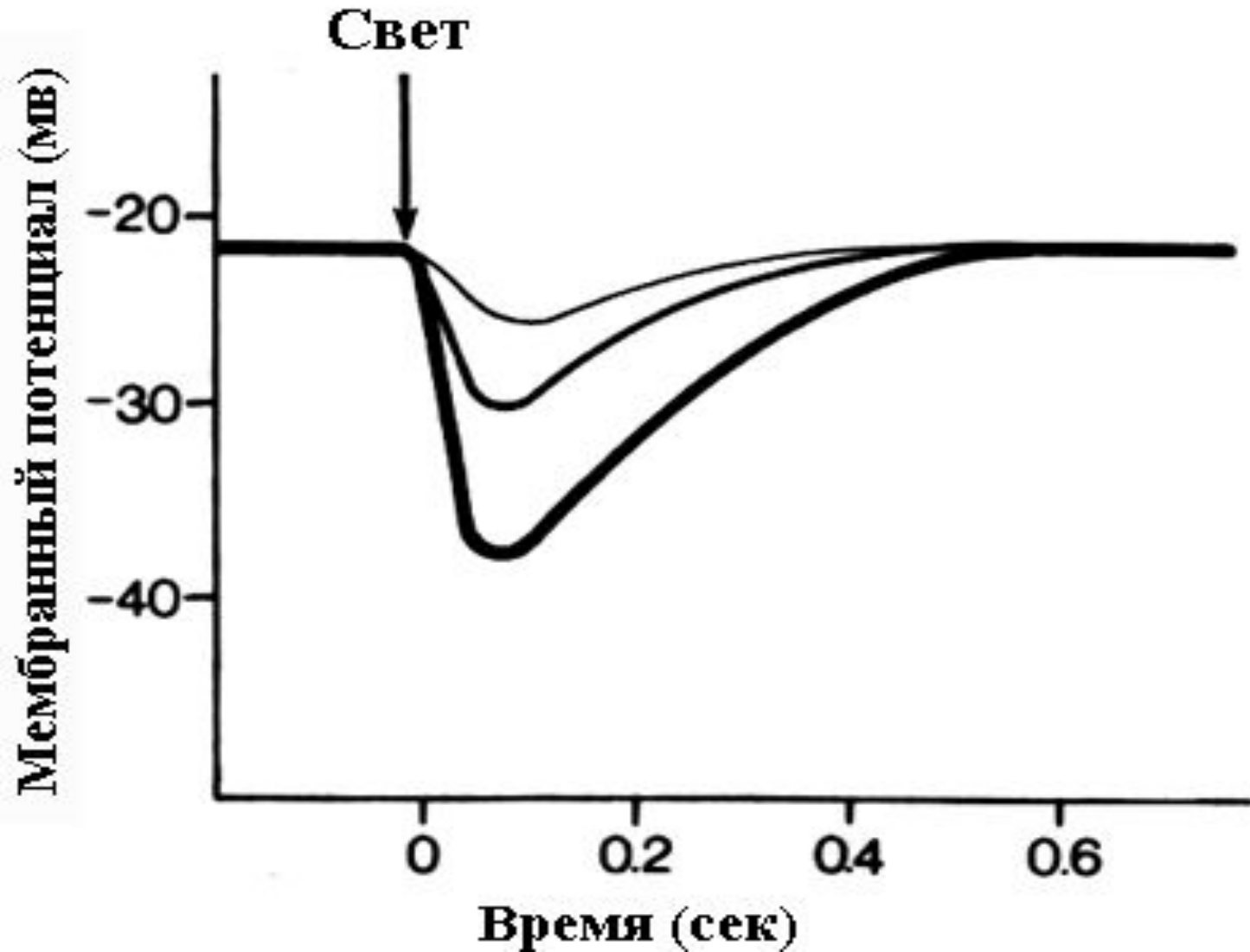
Схема образования и обесцвечивания родопсина



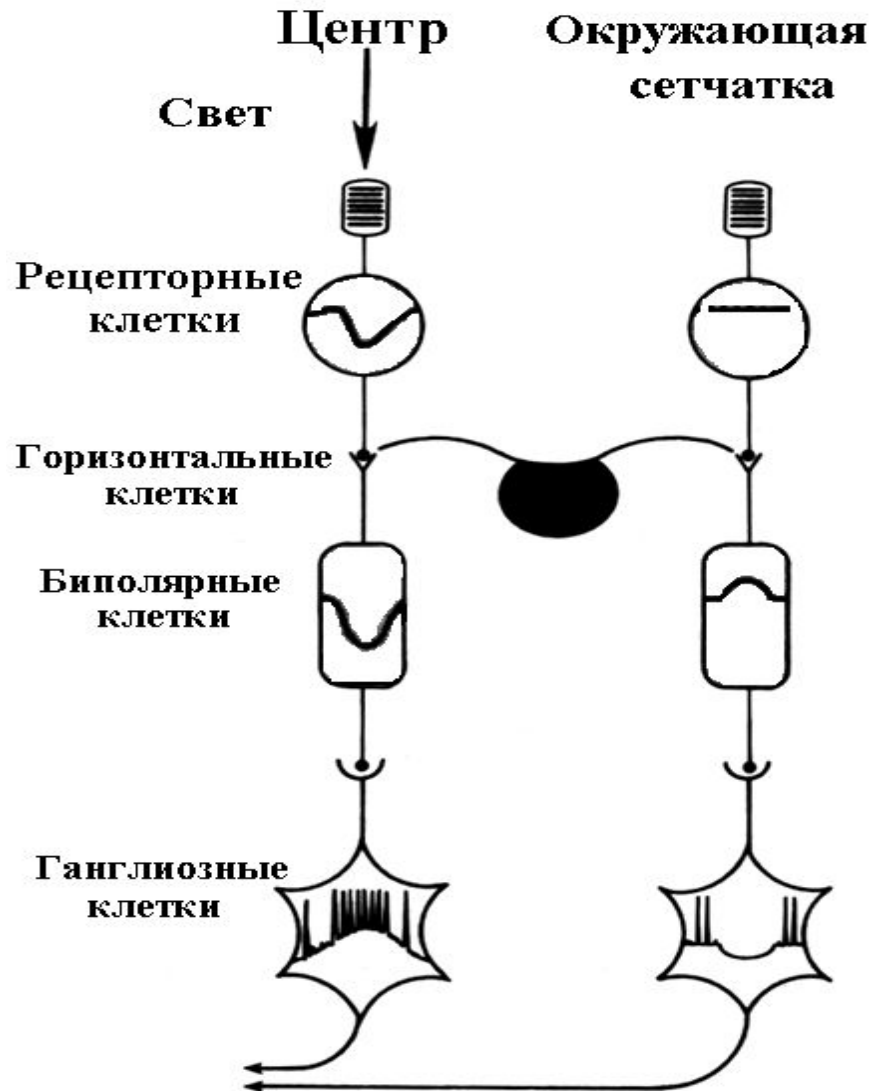
Восприятие цвета



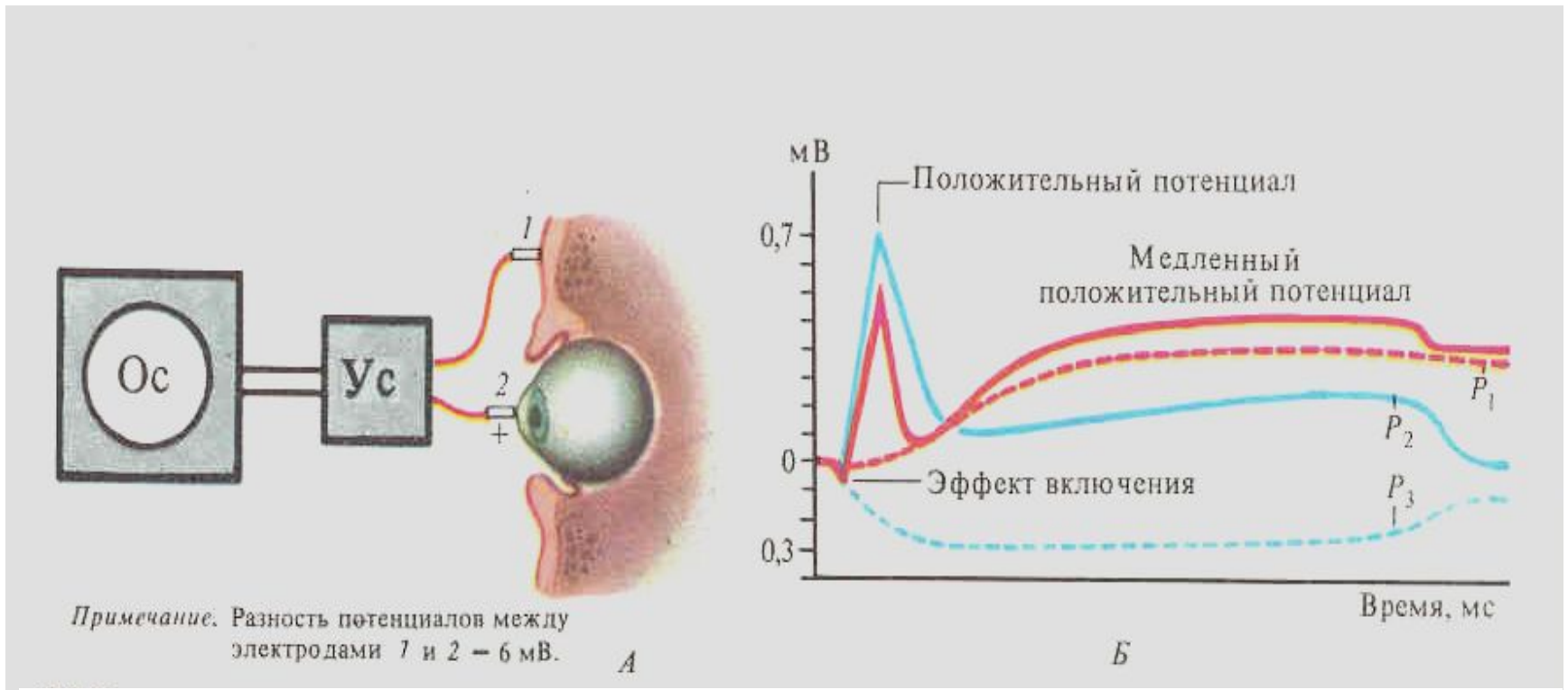
Потенциалы фоторецептора



Потенциалы клеток сетчатки



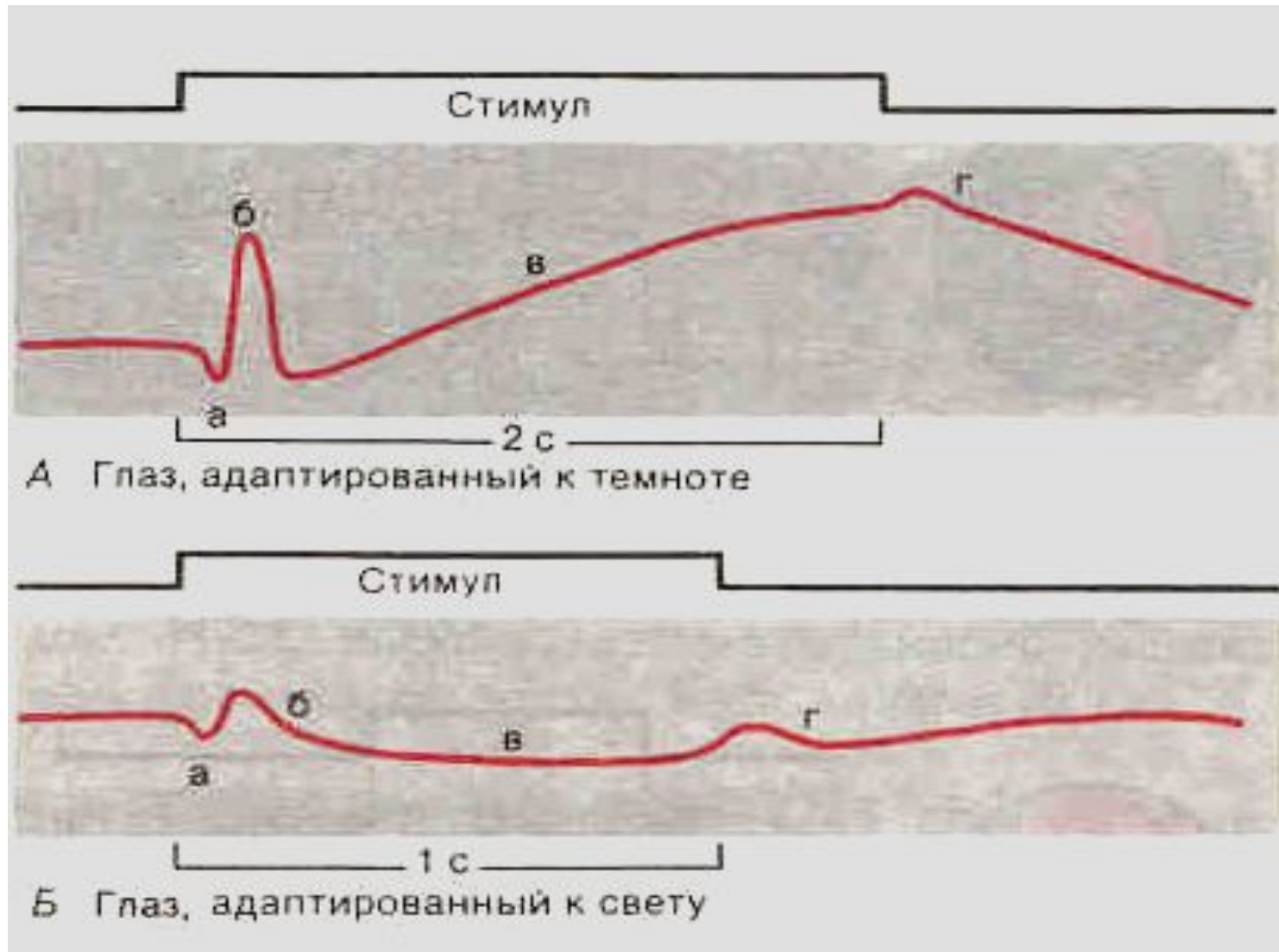
Электроретинография



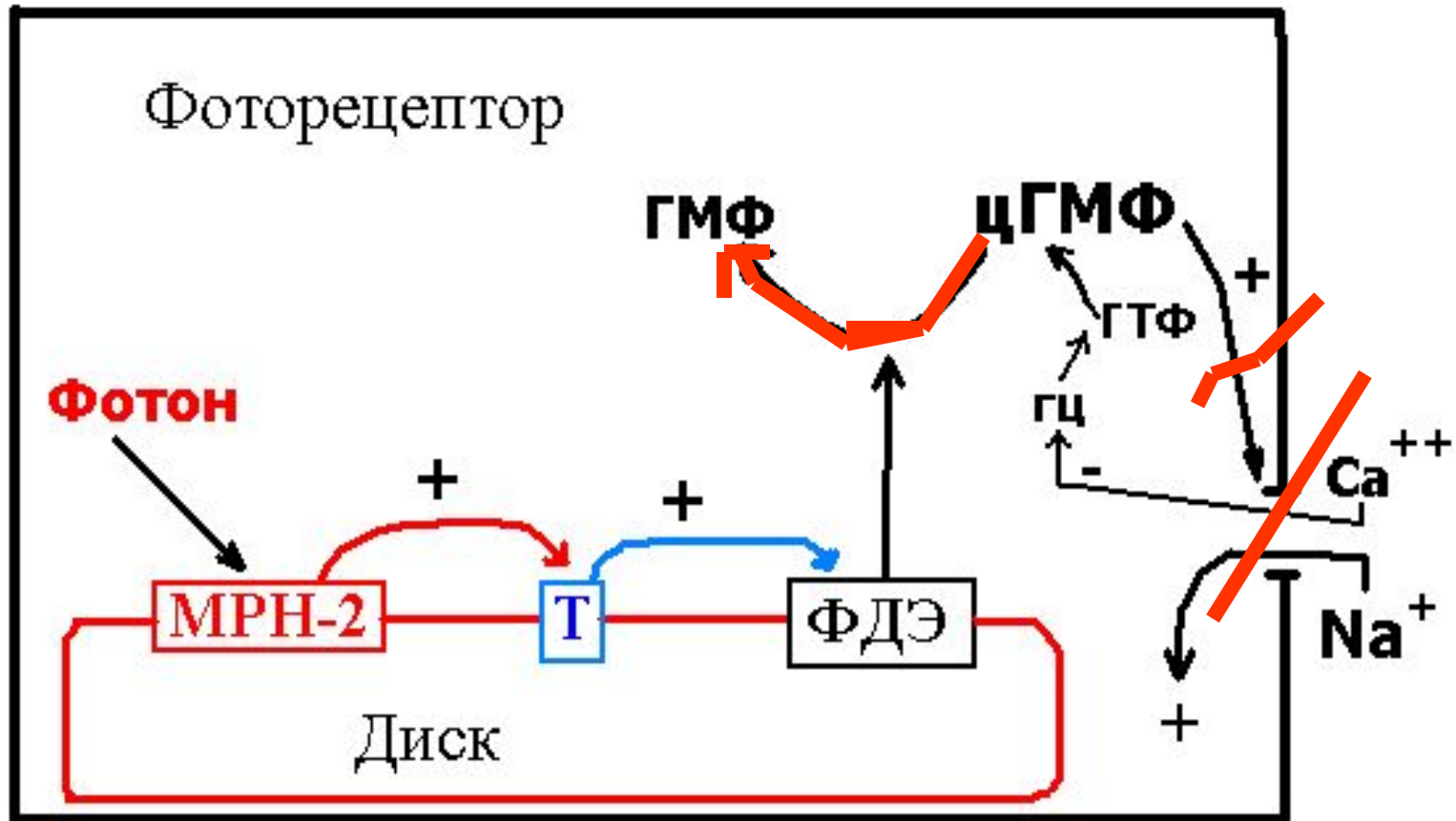
P_1 — компонент палочек; P_2 — реакция биполярных клеток;

P_3 — торможение в рецепторных клетках

Влияние адаптации к свету на ЭРГ

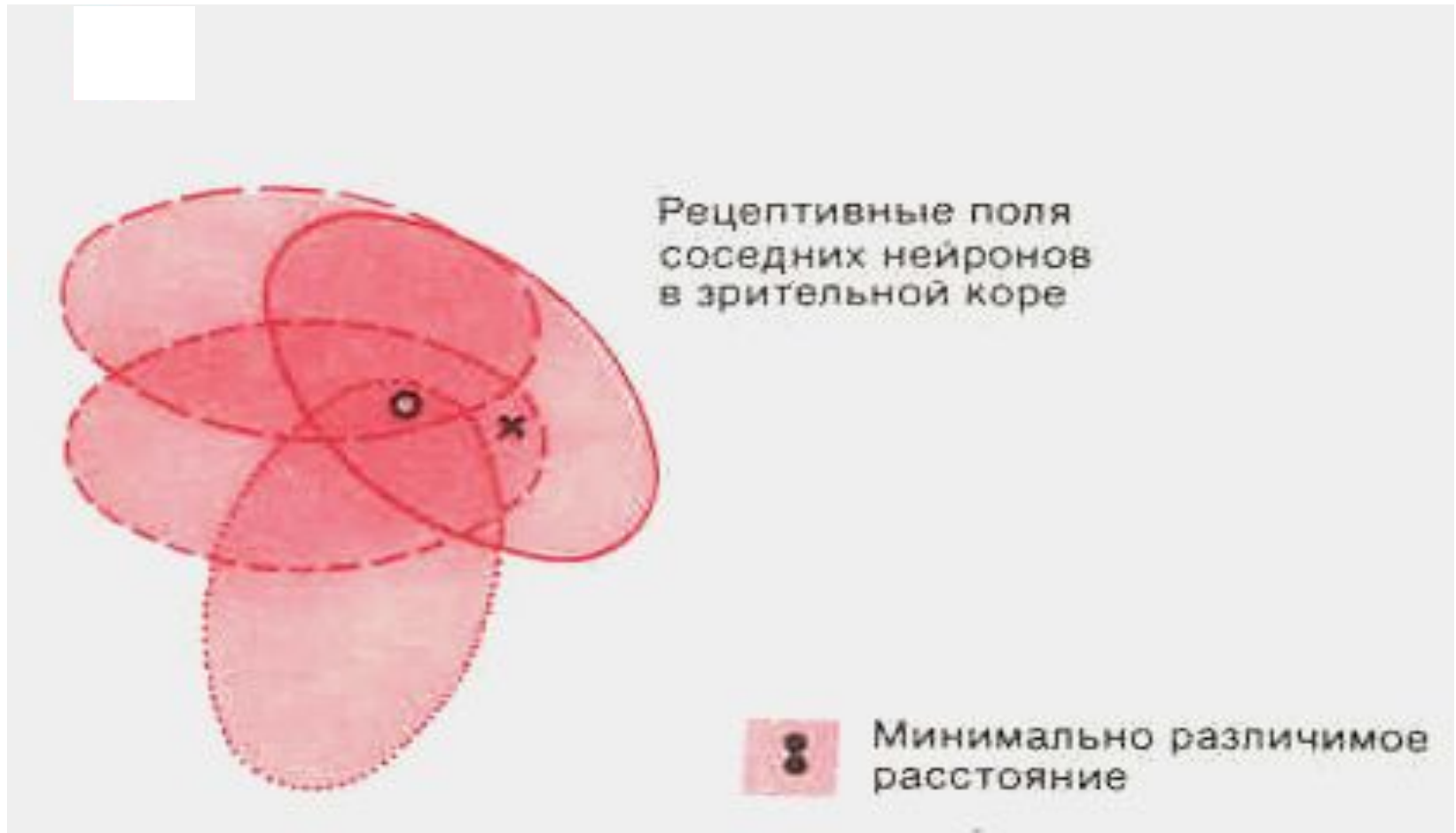


Механизм реакции палочек на фотон света

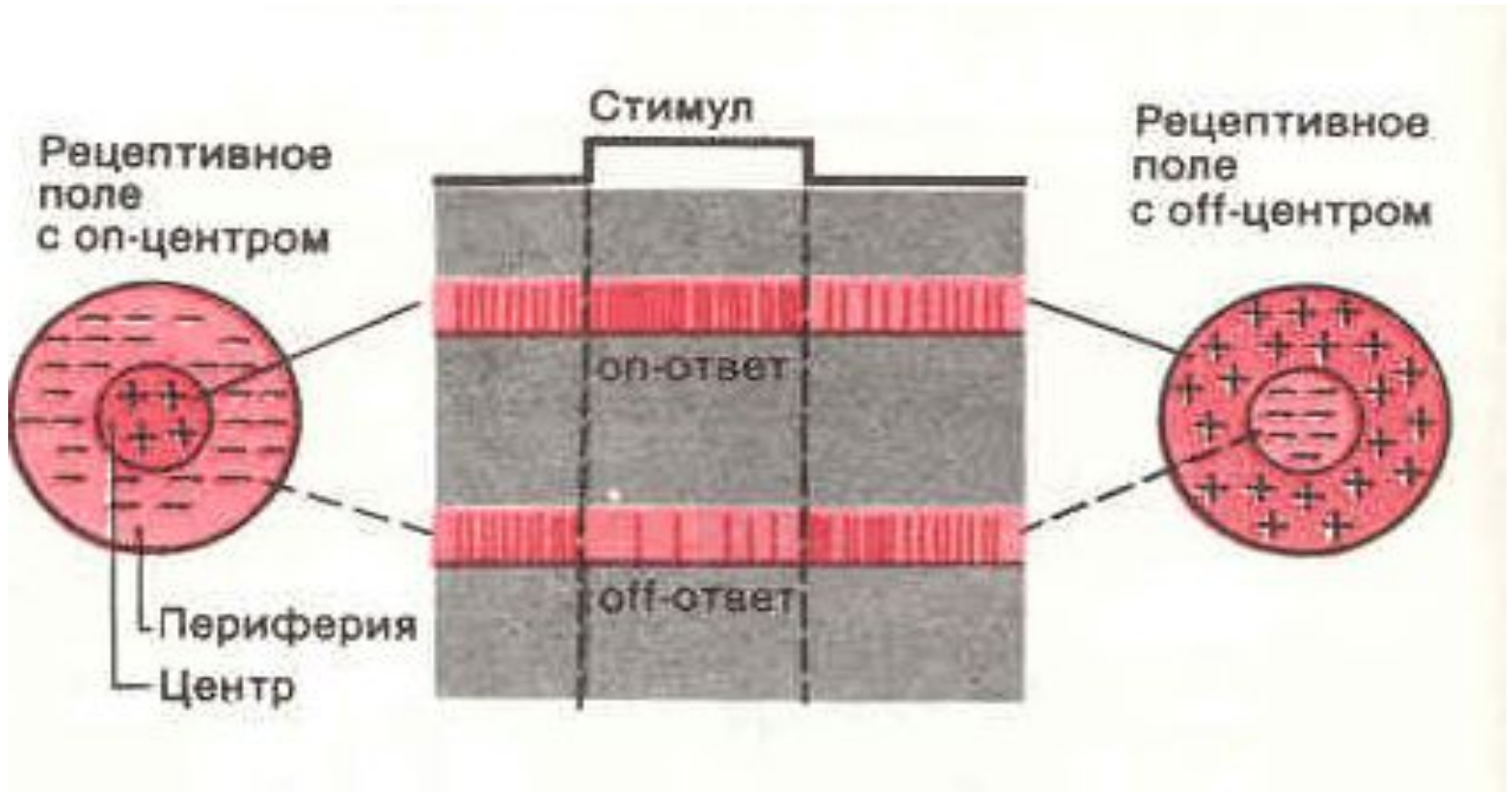


МРН-2 - метародопсин-2; Т - трансдуцин
ФДЭ - фосфодиэстераза

Перекрывание рецептивных полей соседних нейронов в зрительной коре

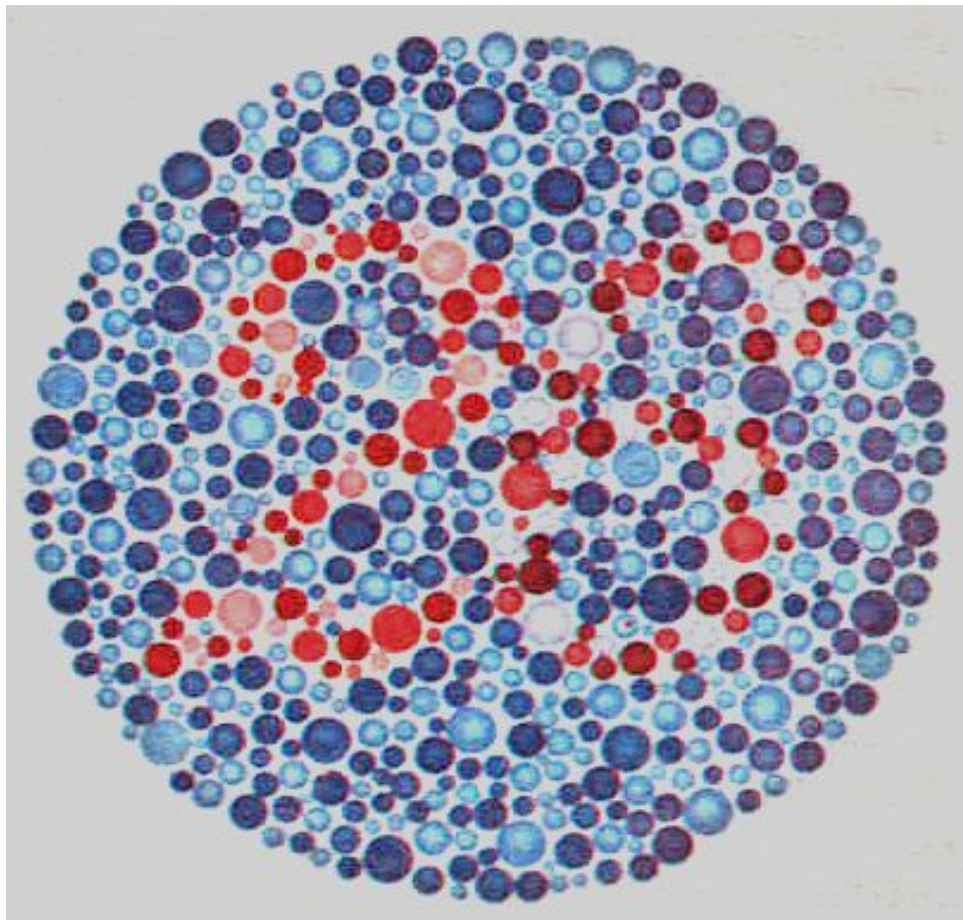


Организация рецептивных полей

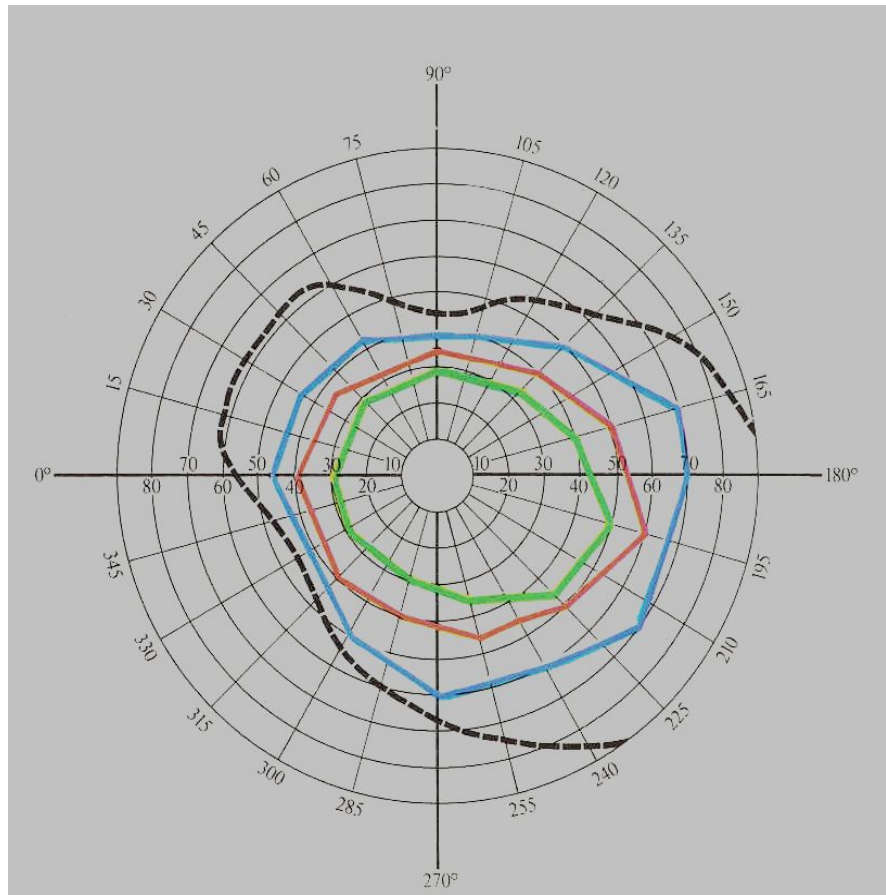


Исследование цветового зрения с помощью таблиц Рабкина

Испытуемый с нормальным цветовым зрением видит 26, протаноп -6, а дейтераноп м-2



Поле зрения для объектов разного цвета. Пунктир – белый цвет

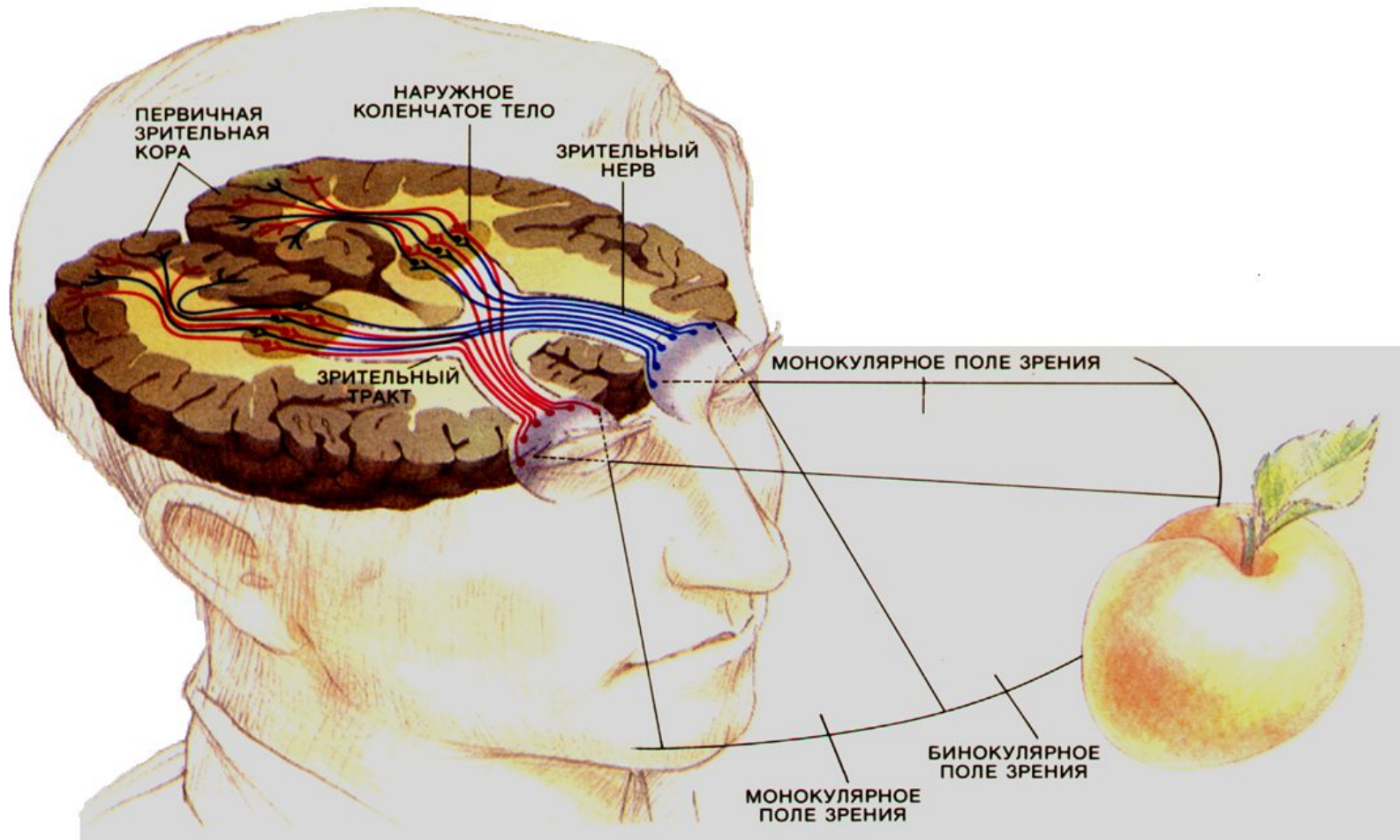


Движения глаз при рассматривании лица.

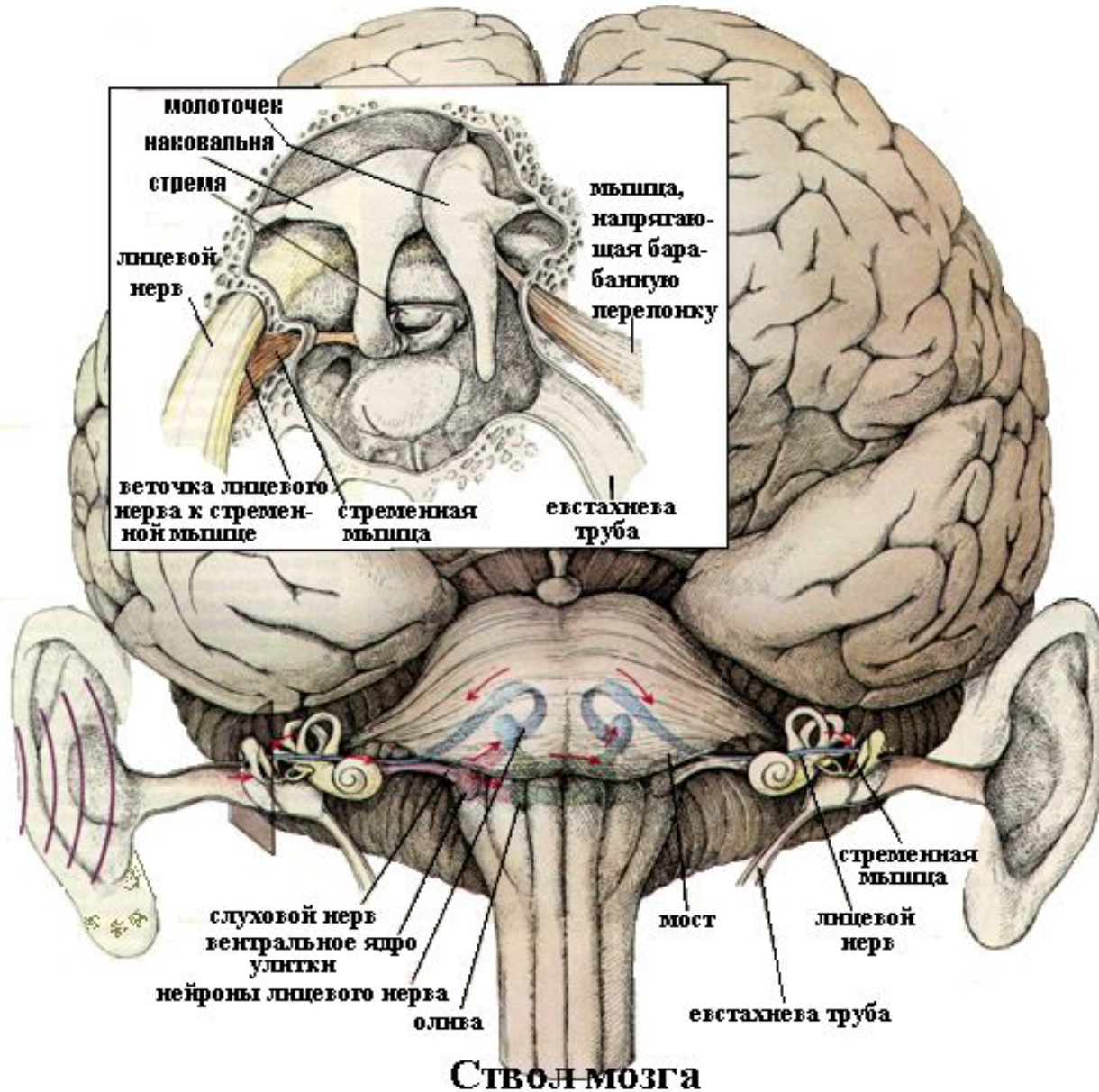
ЭОГ. Испытуемый несколько минут рассматривал фото слева



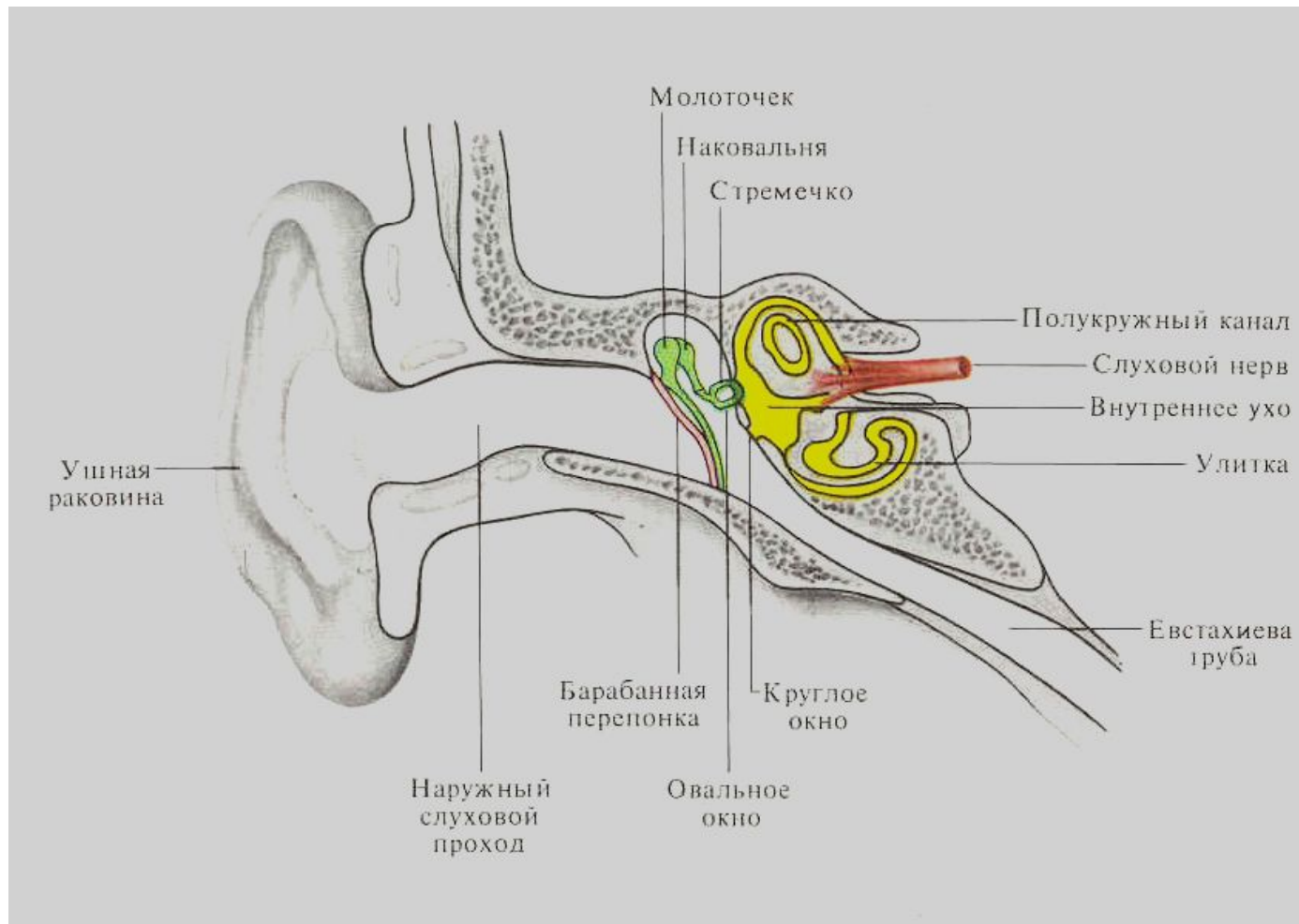
БИНОКУЛЯРНОЕ ЗРЕНИЕ



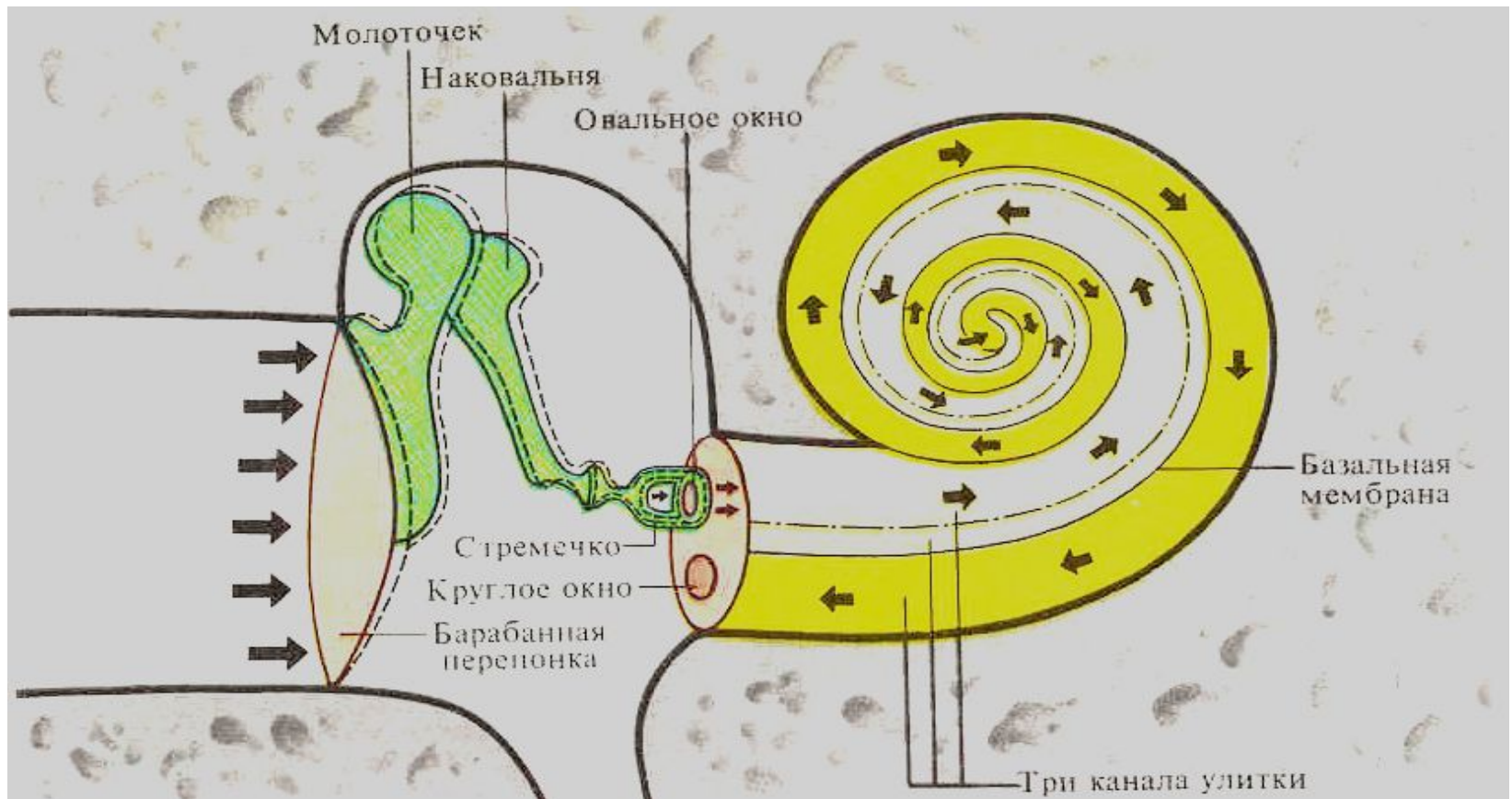
Слуховая система



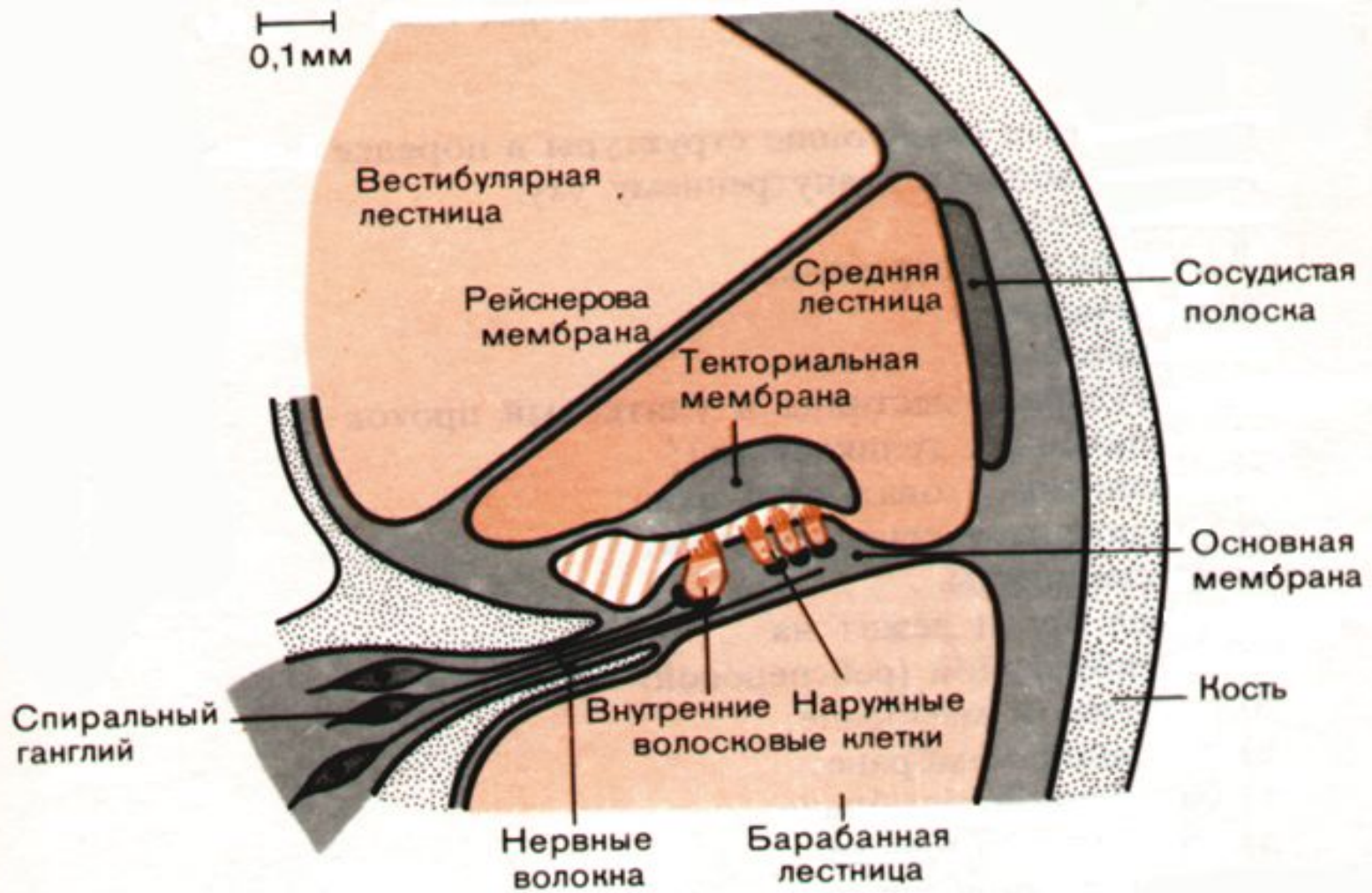
Слуховой анализатор



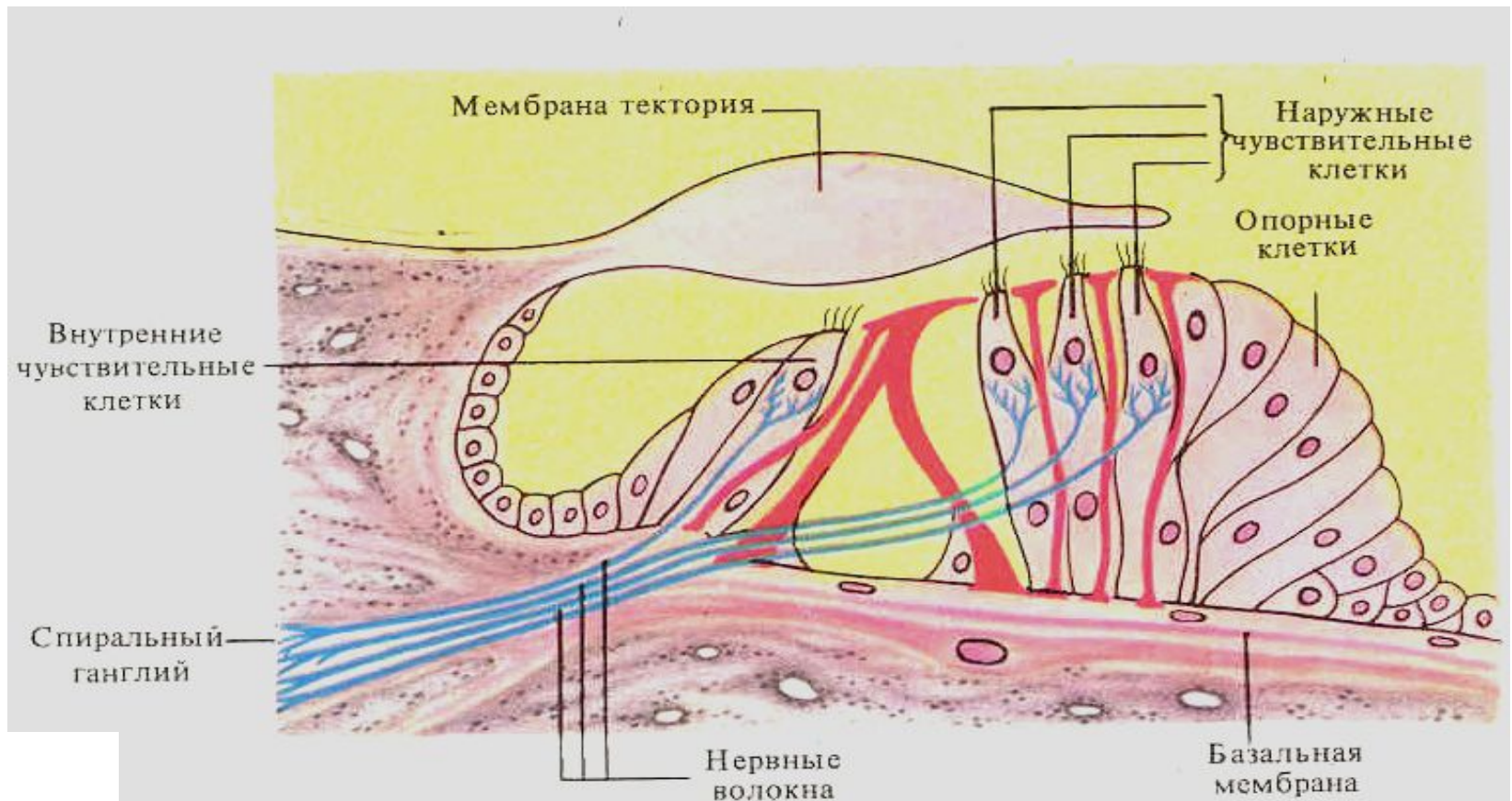
Среднее и внутреннее ухо в разрезе



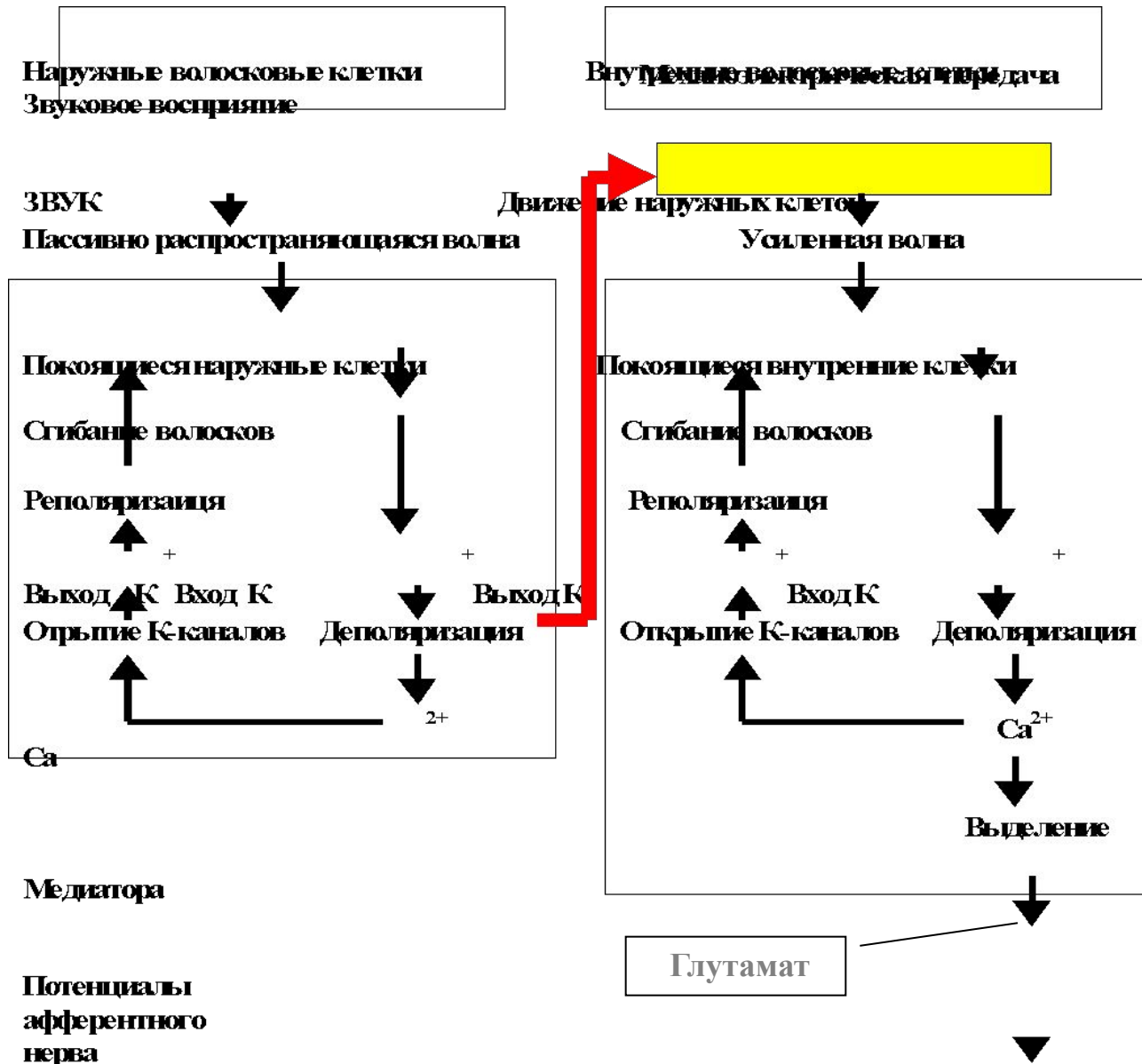
Разрез улиткового хода



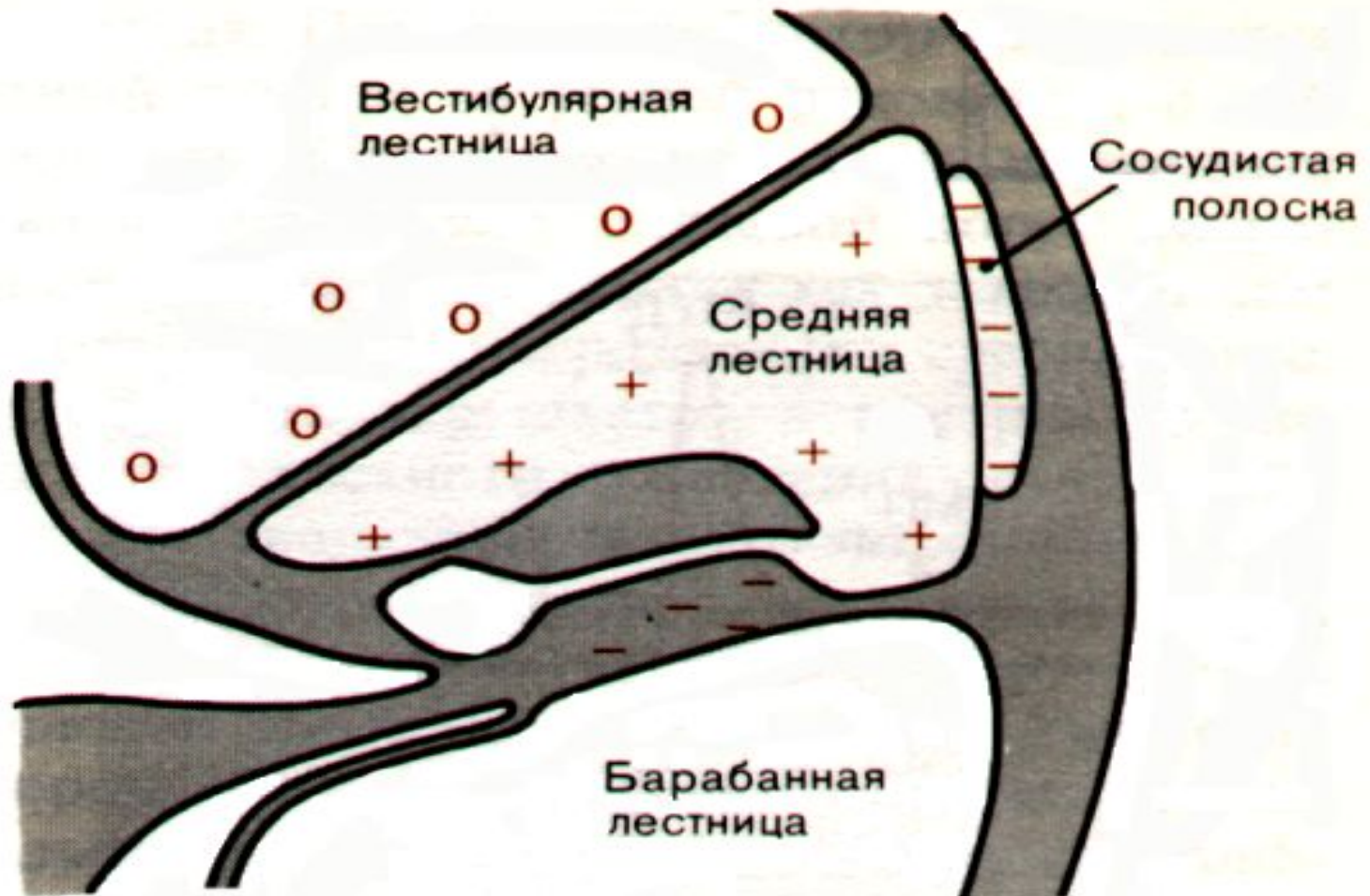
Кортиев орган



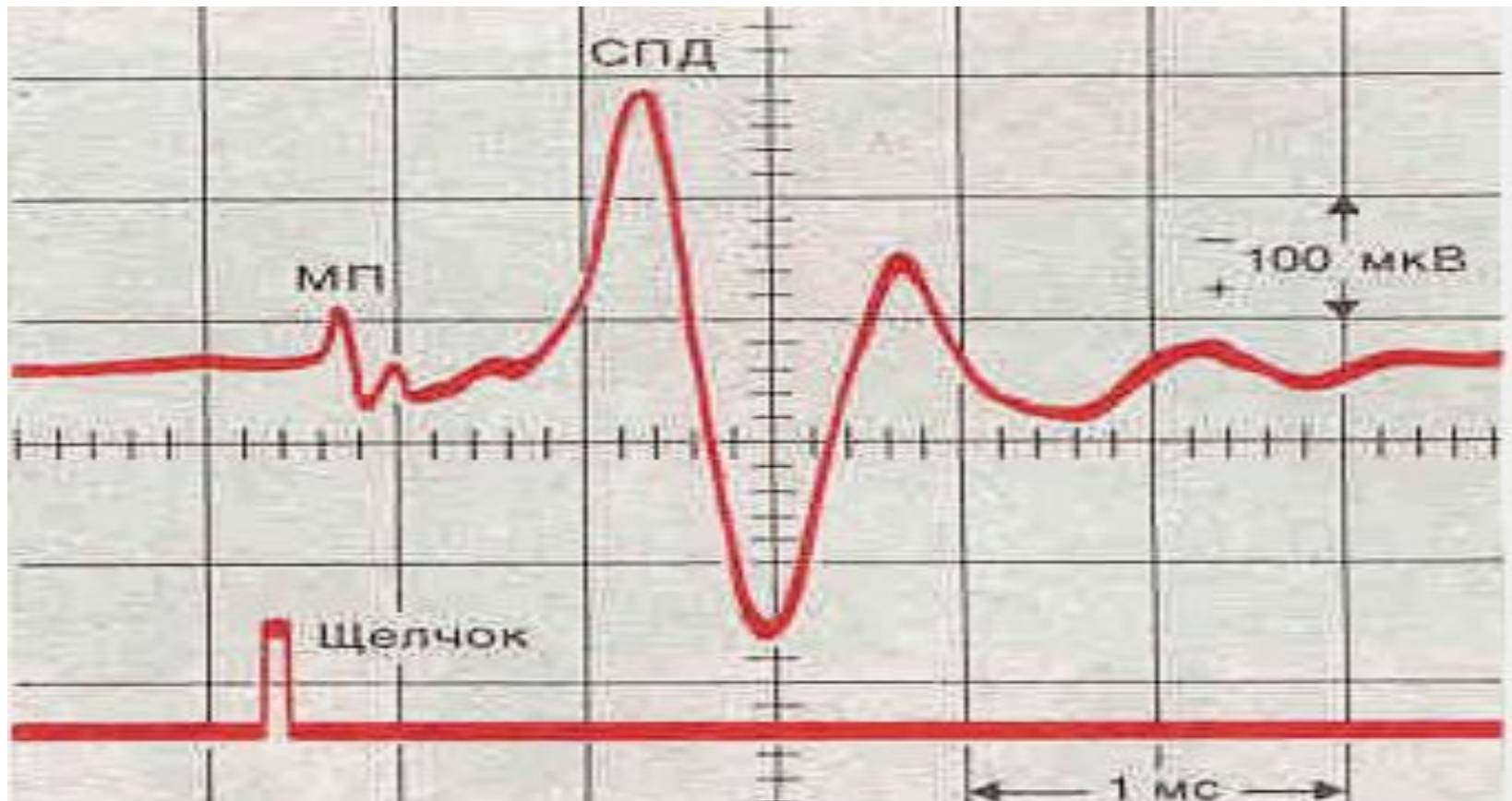
Функция клеток органа Корти

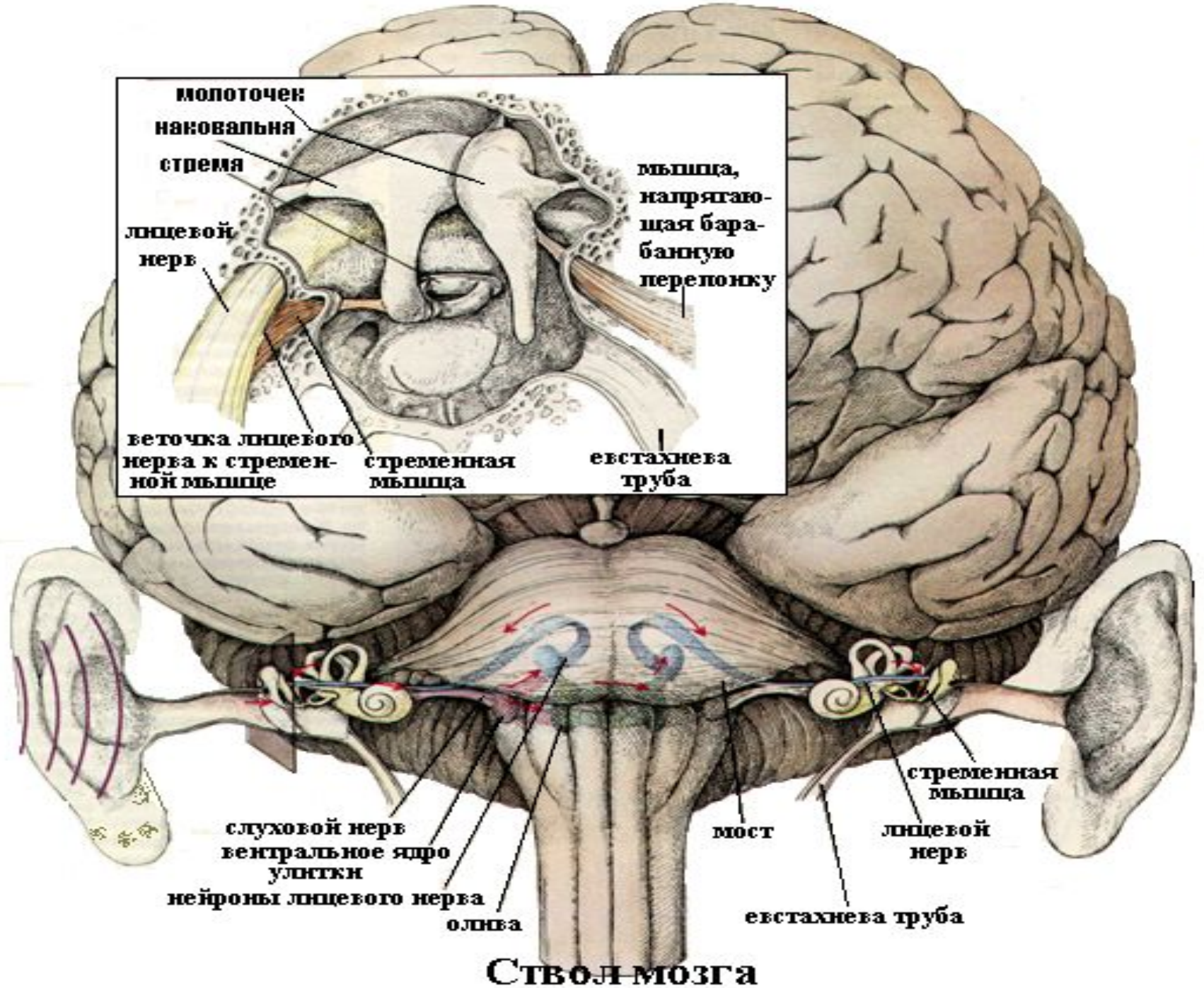


Потенциал улитки

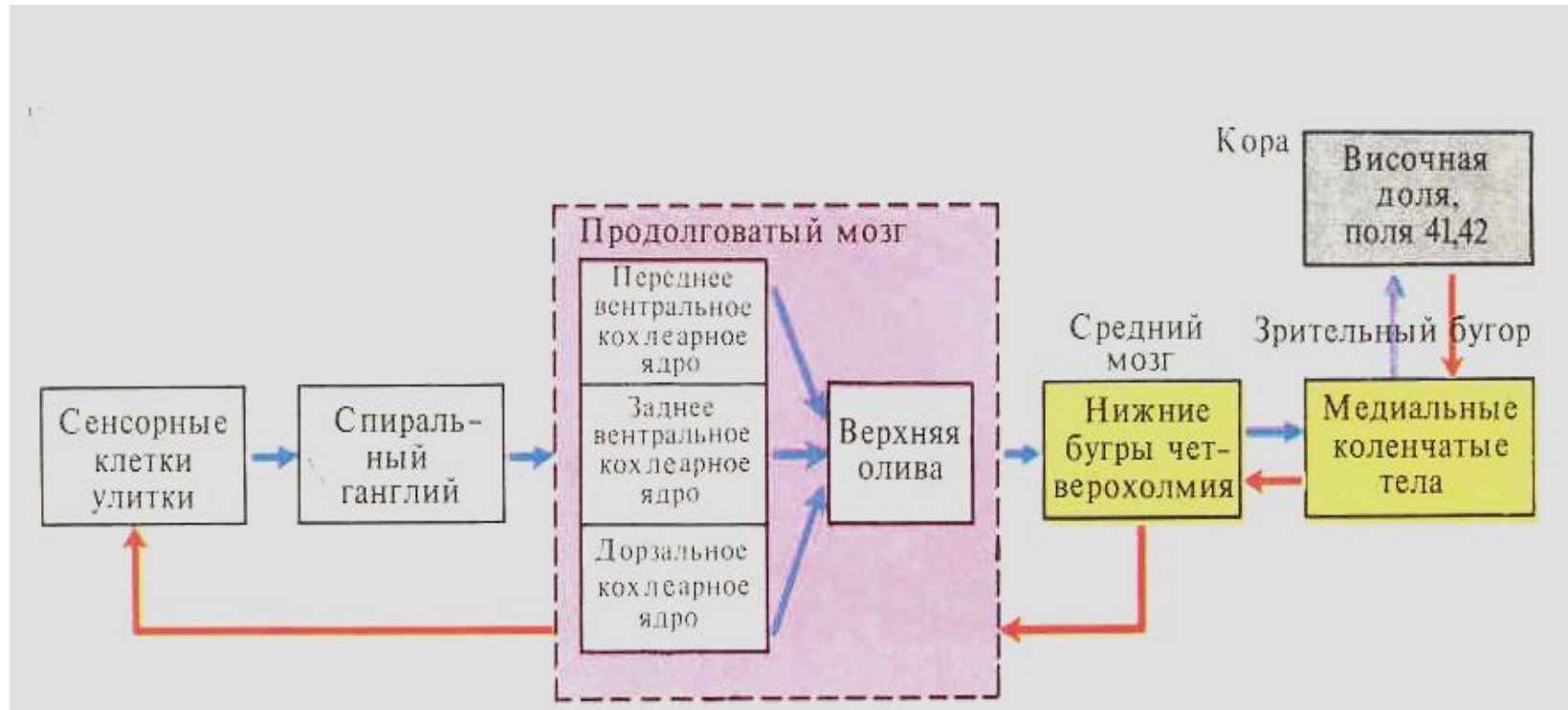


Микрофонный потенциал улитки и потенциал действия, зарегистрированный у овального окна в ответ на щелчок

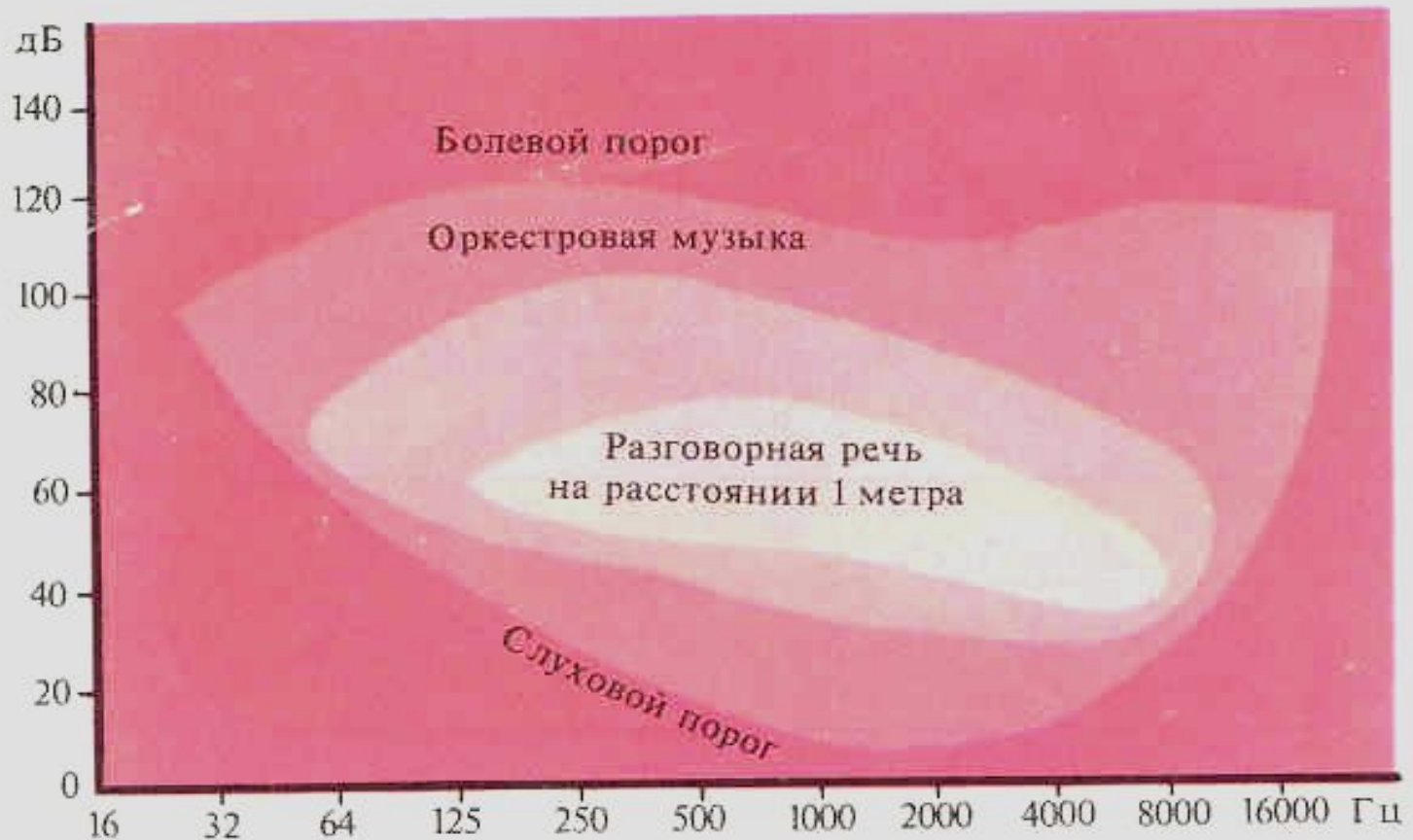




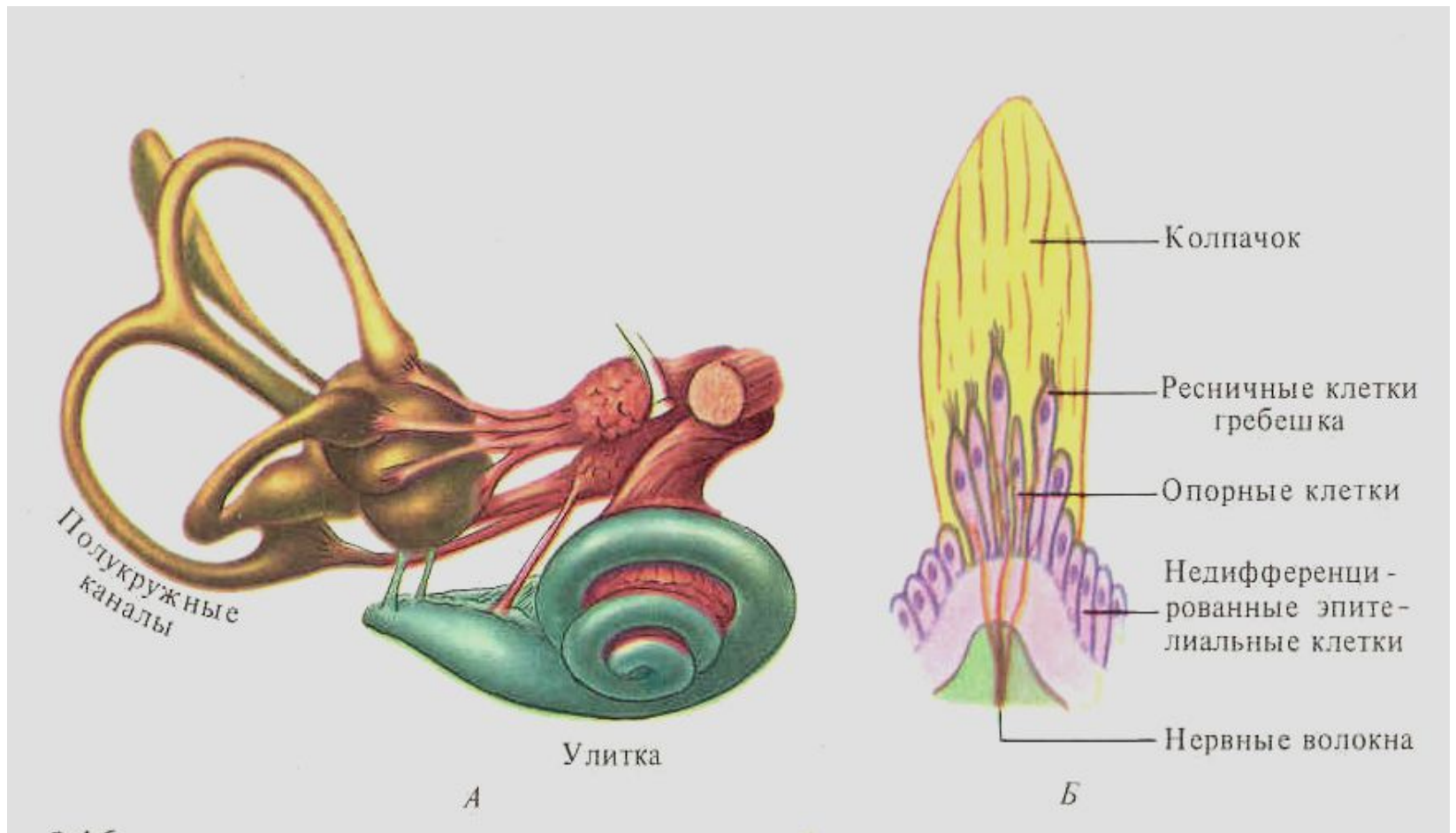
Блок-схема слухового анализатора



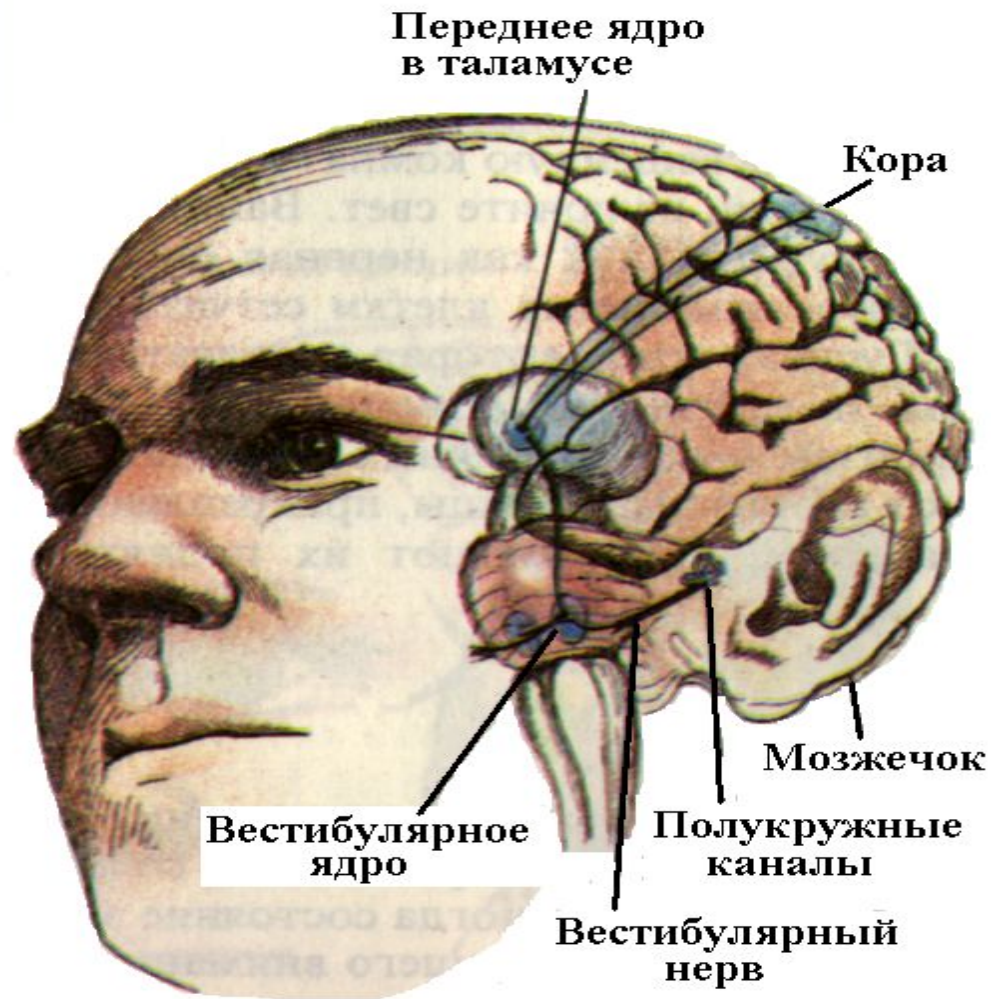
Слуховое поле



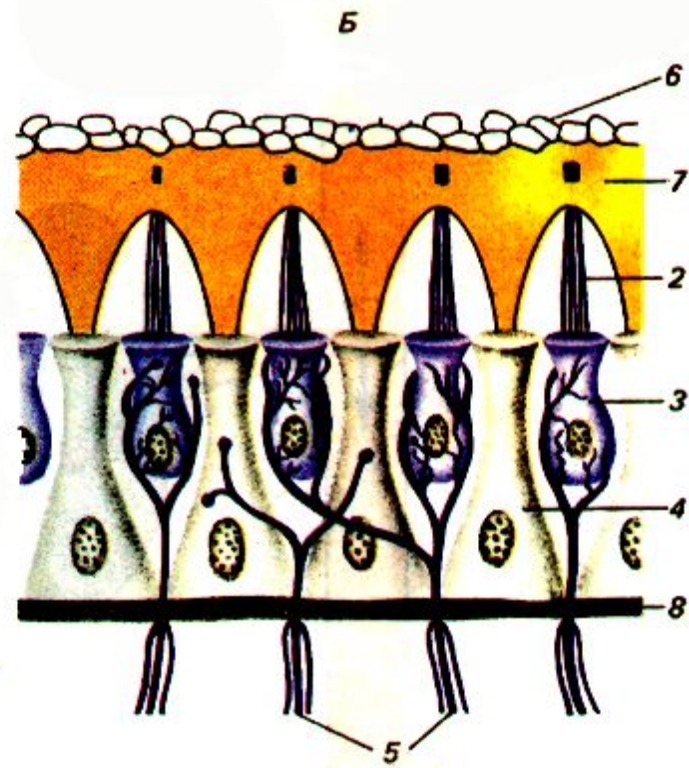
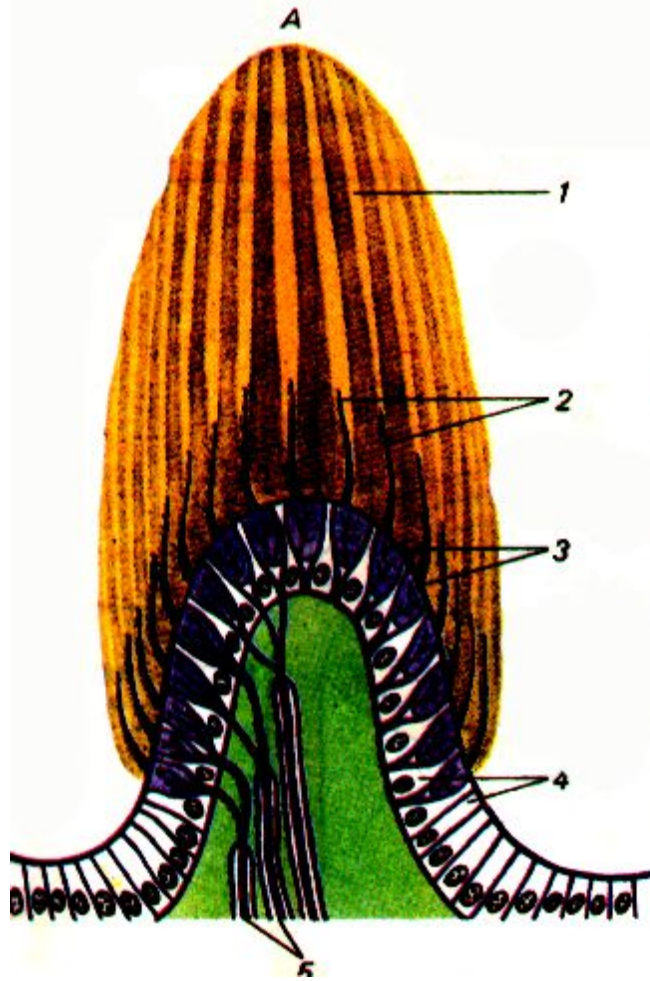
Вестибулярный аппарат



Система равновесия



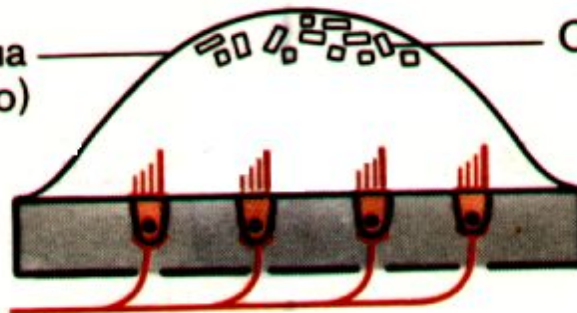
КУПУЛА (А) И МАКУЛА (Б)



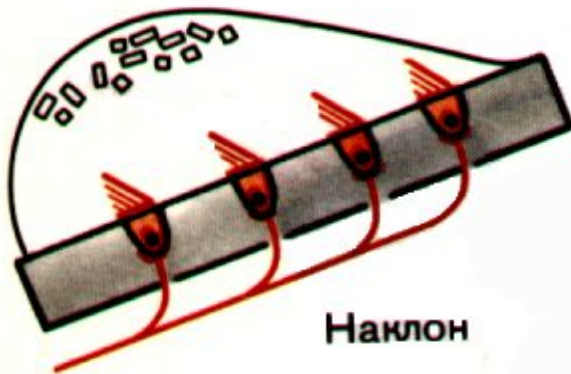
Макулы органов преддверия (утрикулус и саккулус)

Отолитовая мембрана
(желатинозное вещество)

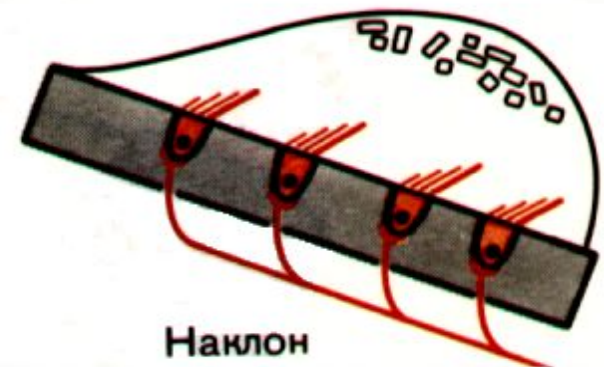
Отолиты



Макула в покое

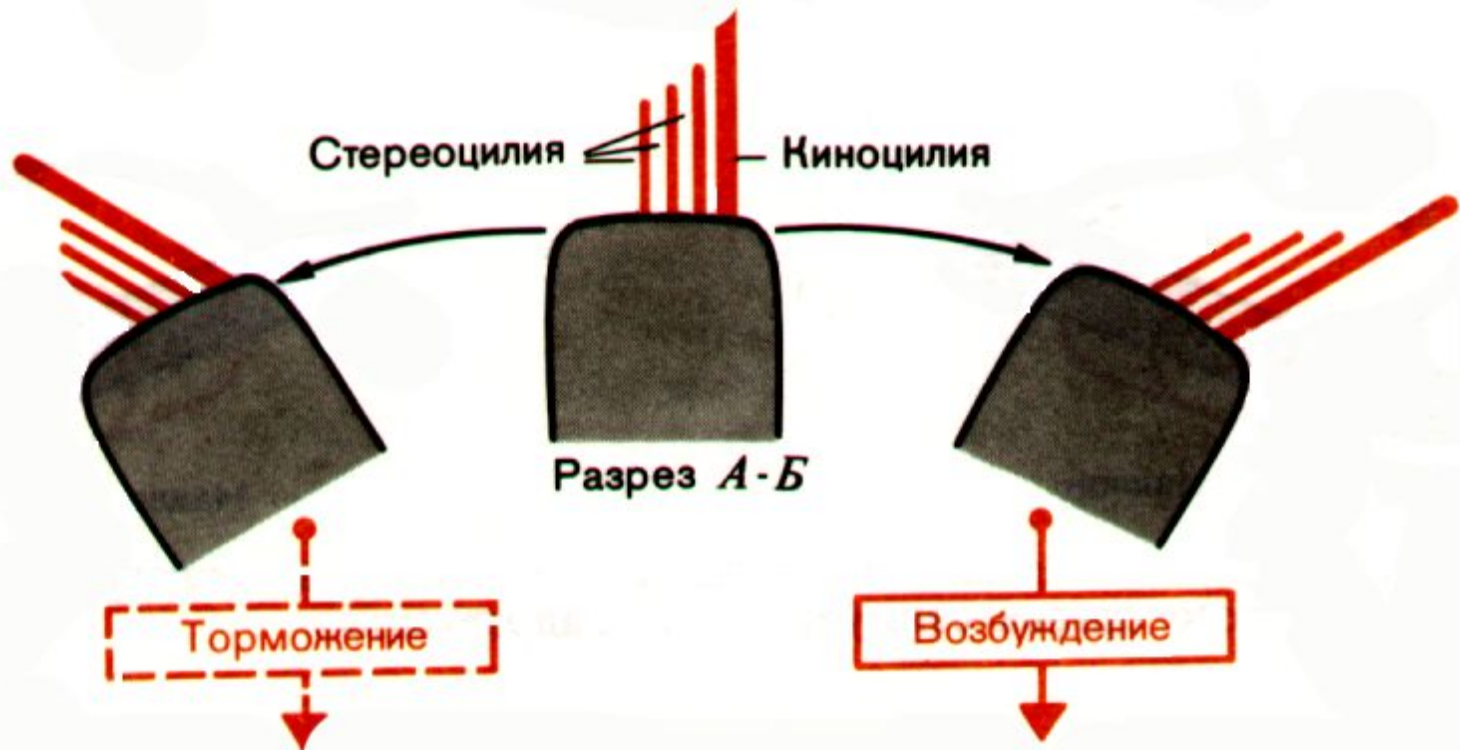


Наклон



Наклон

ФУНКЦИИ ВОЛОСКОВЫХ КЛЕТОК ВЕСТИБУЛЯРНОГО АППАРАТА



ПОЛУКРУЖНЫЕ КАНАЛЫ



В ПОКОЕ



УСКОРЕНИЕ

Афферентные и эфферентные связи вестибулярного аппарата

